

第七章 有限长单位脉冲响应 (FIR) 滤波器的设计方法

王柯俨

kywang@mail.xidian.edu.cn

<http://web.xidian.edu.cn/kywang/teach.html>



主要内容

- 线性相位**FIR**数字滤波器的特性
- 窗函数设计法（时间窗口法）
- 频率取样法
- **IIR**与**FIR**数字滤波器的比较

FIR数字滤波器的特点(与IIR数字滤波器比较):

■ 优点：

- 很容易获得**严格的线性相位**，避免被处理的信号产生相位失真，这一特点在宽频带信号处理、阵列信号处理、数据传输等系统中非常重要；
- 极点全部在原点（永远稳定），**无稳定性问题**；
- 任何一个非因果的有限长序列，总可以通过一定的延时，转变为因果序列，所以**因果性总是满足**；
- **无反馈运算**，运算误差小。



FIR数字滤波器的特点(与IIR数字滤波器比较):

■ 缺点:

- 因为无极点, 要获得好的过渡带特性, 需以较高的阶数为代价;
- 无法利用模拟滤波器的设计结果, 一般无解析设计公式, 要借助计算机辅助设计程序完成。



FIR滤波器的设计方法

- 基于逼近理想滤波器特性的方法
 - 窗函数法
 - 频率采样法
 - 等波纹最佳逼近法
- 最优设计法



7.1 线性相位FIR滤波器及其特性

- 线性相位系统的时域特性
- 线性相位系统的频域特性
- 线性相位系统 $H(z)$ 的零点分布特性

1. FIR滤波器的定义

- 传输函数

$$H(e^{j\omega}) = \sum_{n=0}^{N-1} h(n)e^{-j\omega n} = H_g(\omega)e^{j\theta(\omega)}$$

- 幅度特性（可为负值） $H_g(\omega)$ --- 与幅频响应不同

- 相位特性 $\theta(\omega)$ --- 与相频响应不同

- 第一类线性相位FIRDR

- 严格线性函数： $\theta(\omega) = -\tau\omega$

- 第二类线性相位FIRDR

- 满足： $\theta(\omega) = \theta_0 - \tau\omega$

τ 为常数， θ_0 为起始相位 $\theta_0 = -\frac{\pi}{2}$

系统的群时延

$$\tau(\omega) = -\frac{d\theta(\omega)}{d\omega}$$

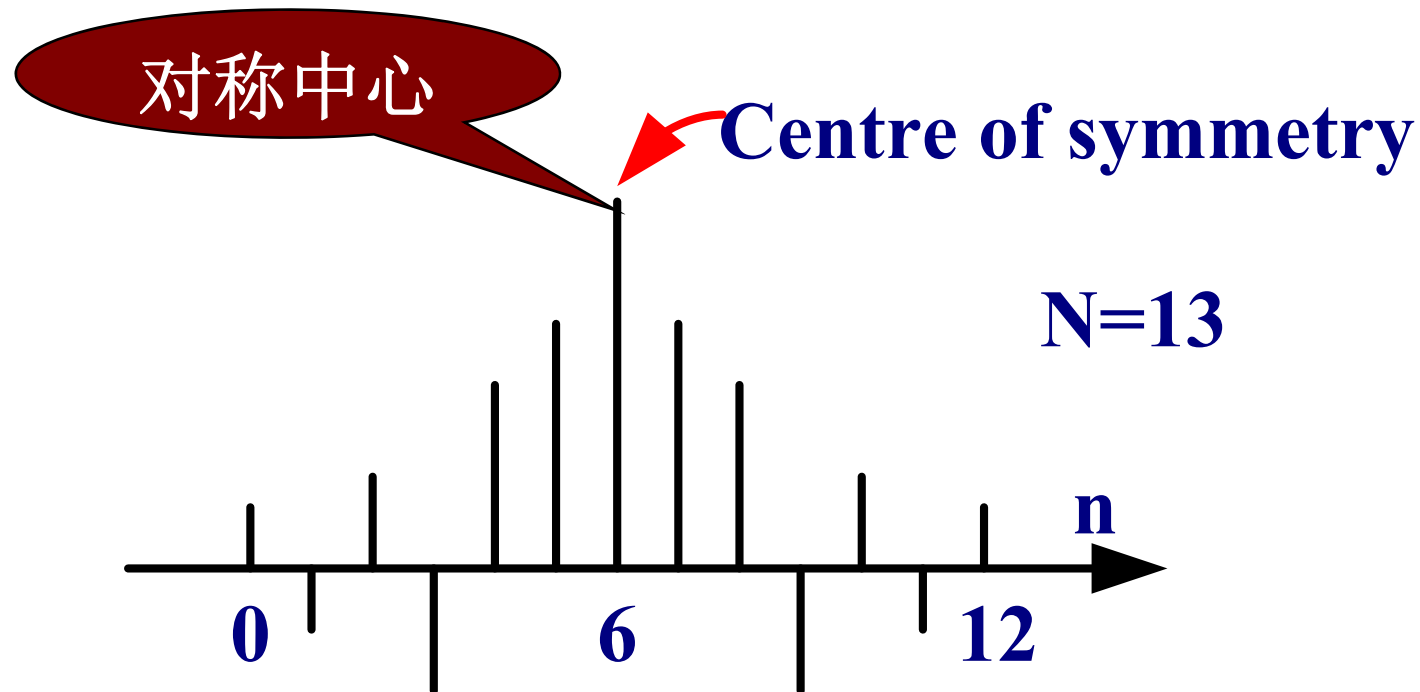
群时延均为常数，称为**恒定群延时滤波器**：

$$-\frac{d\theta(\omega)}{d\omega} = \tau$$

$$\left(\theta(\omega) = -\tau\omega, \quad \theta(\omega) = \theta_0 - \tau\omega \right)$$

第一类线性相位FIRDR $\theta(\omega) = -\tau\omega$

情况1:

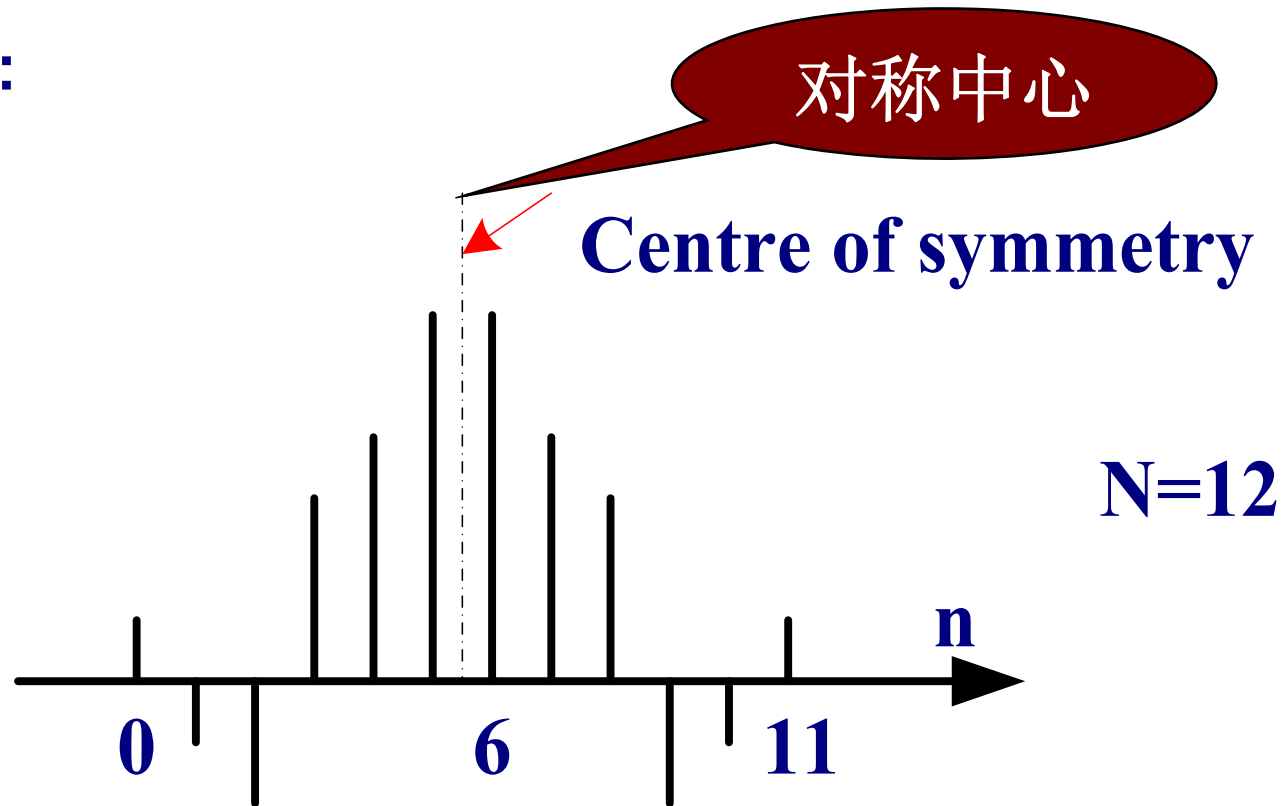


N odd, positive symmetry

N为奇数，偶对称

第一类线性相位FIRDR $\theta(\omega) = -\tau\omega$

情况 2:

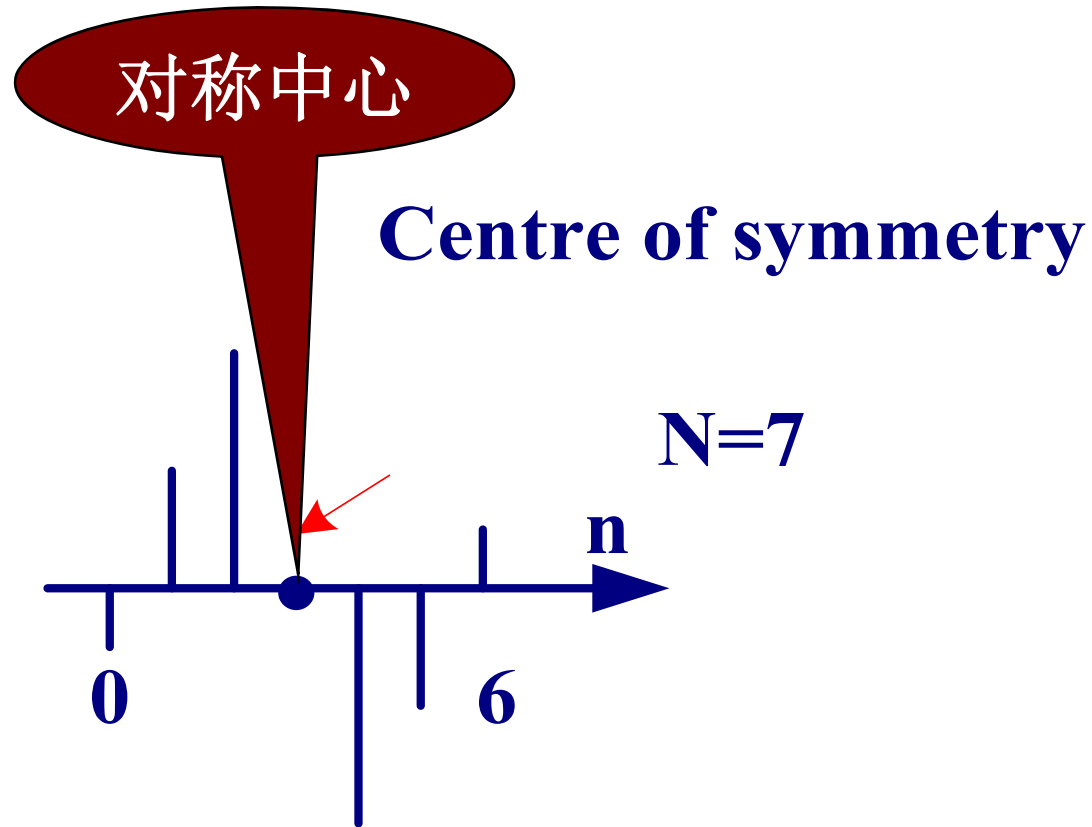


N even, positive symmetry

N为偶数，偶对称

第二类线性相位FIRDR $\theta(\omega) = \theta_0 - \tau\omega$

情况 3:

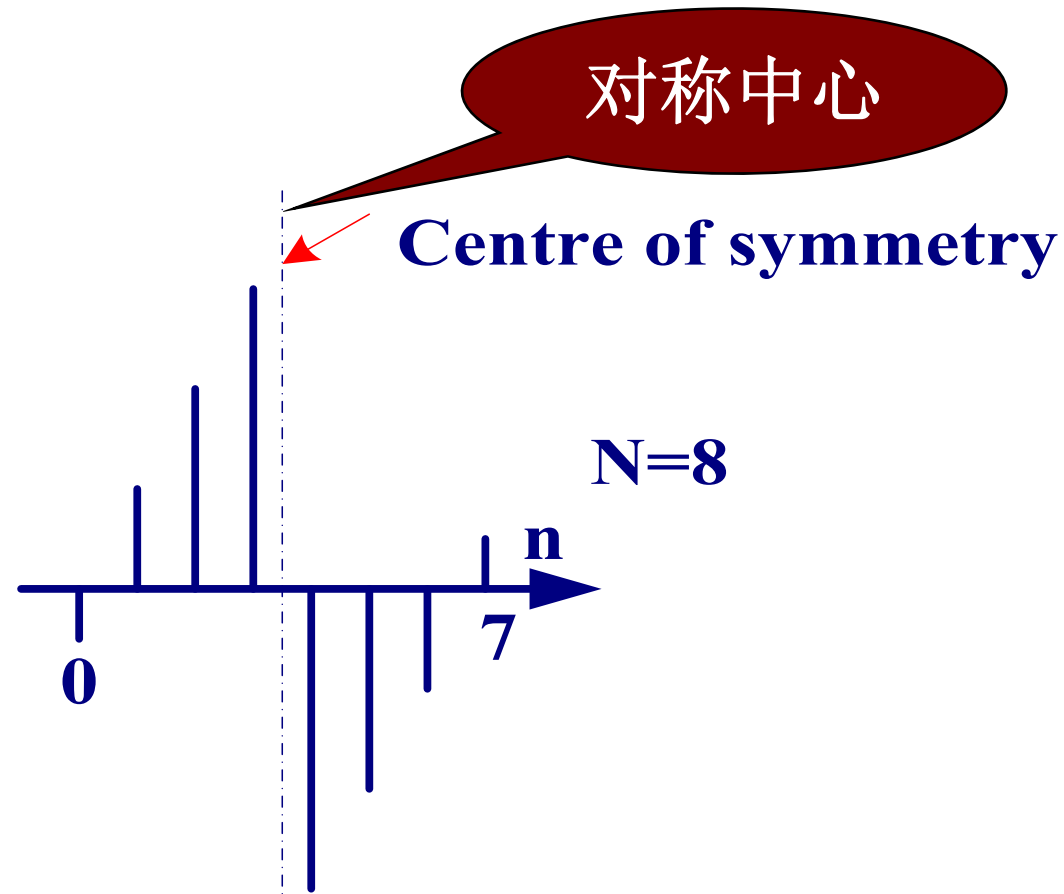


N odd, negative symmetry

N为奇数，奇对称

第二类线性相位FIRDR $\theta(\omega) = \theta_0 - \tau\omega$

情况4:



N even, negative symmetry

N为偶数，奇对称

2. 线性相位条件对FIRDF时域和频域的约束

2.1 时域约束（对h(n)的约束）

- 第一类线性相位： $\theta(\omega) = -\tau\omega$

$$H(e^{j\omega}) = \sum_{n=0}^{N-1} h(n)e^{-j\omega n} = H_g(\omega)e^{j\theta(\omega)} = H_g(\omega)e^{-j\omega\tau}$$

$$\sum_{n=0}^{N-1} h(n)(\cos \omega n - j \sin \omega n) = H_g(\omega)(\cos \omega\tau - j \sin \omega\tau)$$

$$H_g(\omega) \cos \omega\tau = \sum_{n=0}^{N-1} h(n) \cos \omega n$$

$$H_g(\omega) \sin \omega\tau = \sum_{n=0}^{N-1} h(n) \sin \omega n$$

$$H_g(\omega) \cos \omega\tau = \sum_{n=0}^{N-1} h(n) \cos \omega n \quad H_g(\omega) \sin \omega\tau = \sum_{n=0}^{N-1} h(n) \sin \omega n$$

$$\frac{\cos \omega\tau}{\sin \omega\tau} = \frac{\sum_{n=0}^{N-1} h(n) \cos \omega n}{\sum_{n=0}^{N-1} h(n) \sin \omega n}$$

$$\sin \omega\tau \sum_{n=0}^{N-1} h(n) \cos \omega n = \cos \omega\tau \sum_{n=0}^{N-1} h(n) \sin \omega n$$

■ 三角函数的恒等关系

$$\sum_{n=0}^{N-1} h(n) \sin \omega(n - \tau) = 0$$


$$\sum_{n=0}^{N-1} h(n) \sin \omega(n - \tau) = 0$$

- 满足上式的一组解

- $h(n) \sin \omega(n - \tau)$ 关于求和区间的中心 $(N - 1)/2$ 奇对称

- 因为 $\sin \omega(n - \tau)$ 关于 $n = \tau$ 奇对称，令 $\tau = (N - 1)/2$

则要求 $h(n)$ 关于 $(N - 1)/2$ 偶对称

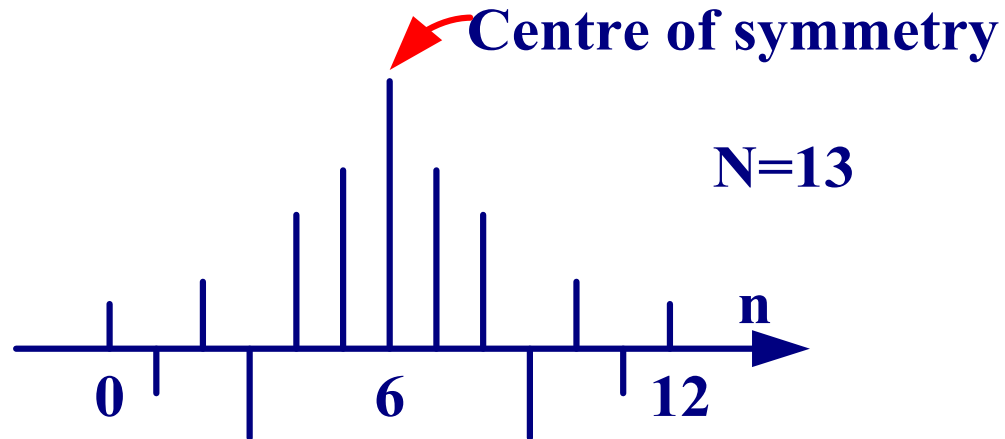
即：

$$h(n) = h(N - 1 - n) \quad 0 \leq n \leq N - 1$$

$$\begin{cases} \theta(\omega) = -\omega\tau \\ \tau = \frac{1}{2}(N - 1) \end{cases} \Rightarrow \theta(\omega) = -\frac{1}{2}(N - 1)\omega$$

情况1:

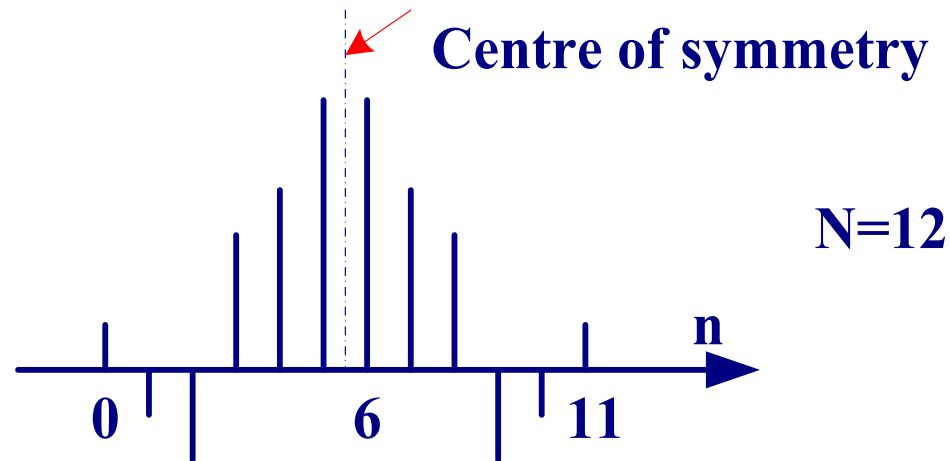
N为奇数



N odd, positive symmetry

情况2:

N为偶数



N even, positive symmetry

- 第二类线性相位 $\theta(\omega) = -\pi/2 - \omega\tau$

$$H(e^{j\omega}) = \sum_{n=0}^{N-1} h(n)e^{-j\omega n} = H_g(\omega)e^{-j(\pi/2 + \omega\tau)}$$

$$\sum_{n=0}^{N-1} h(n)(\cos \omega n - j \sin \omega n) = -H_g(\omega)(\sin \omega\tau + j \cos \omega\tau)$$

$$-H_g(\omega) \sin \omega\tau = \sum_{n=0}^{N-1} h(n) \cos \omega n$$

$$H_g(\omega) \cos \omega\tau = \sum_{n=0}^{N-1} h(n) \sin \omega n$$

$$-H_g(\omega) \sin \omega\tau = \sum_{n=0}^{N-1} h(n) \cos \omega n \quad H_g(\omega) \cos \omega\tau = \sum_{n=0}^{N-1} h(n) \sin \omega n$$

$$-\frac{\sin \omega\tau}{\cos \omega\tau} = \frac{\sum_{n=0}^{N-1} h(n) \cos \omega n}{\sum_{n=0}^{N-1} h(n) \sin \omega n}$$

$$\cos \omega\tau \sum_{n=0}^{N-1} h(n) \cos \omega n + \sin \omega\tau \sum_{n=0}^{N-1} h(n) \sin \omega n = 0$$

■ 三角函数的恒等关系

$$\sum_{n=0}^{N-1} h(n) \cos \omega(n - \tau) = 0$$


$$\sum_{n=0}^{N-1} h(n) \cos \omega(n - \tau) = 0$$

- 满足上式的一组解

- $h(n) \cos \omega(n - \tau)$ 关于求和区间的中心 $(N - 1)/2$ 奇对称

- 因为 $\cos \omega(n - \tau)$ 关于 $n = \tau$ 偶对称，令 $\tau = (N - 1)/2$

则要求 $h(n)$ 关于 $(N - 1)/2$ 奇对称

即：

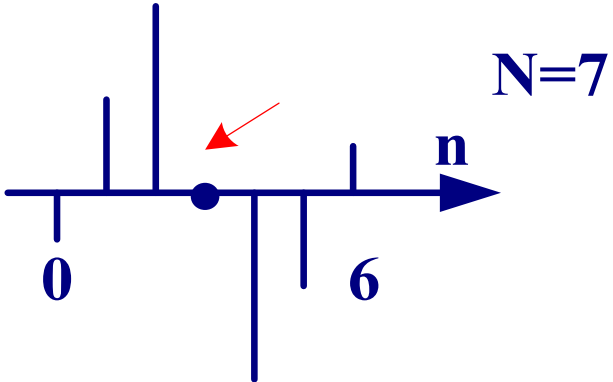
$$\begin{cases} \theta(\omega) = -\frac{\pi}{2} - \omega\tau, \tau = \frac{1}{2}(N - 1) \\ h(n) = -h(N - 1 - n) \quad 0 \leq n \leq N - 1 \end{cases}$$



Centre of symmetry

情况3:

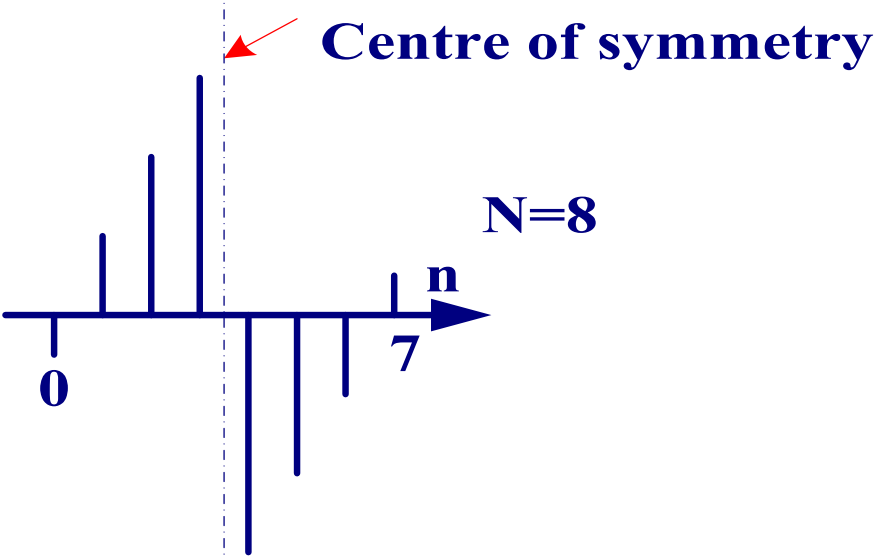
N为奇数



N odd, negative symmetry

情况4:

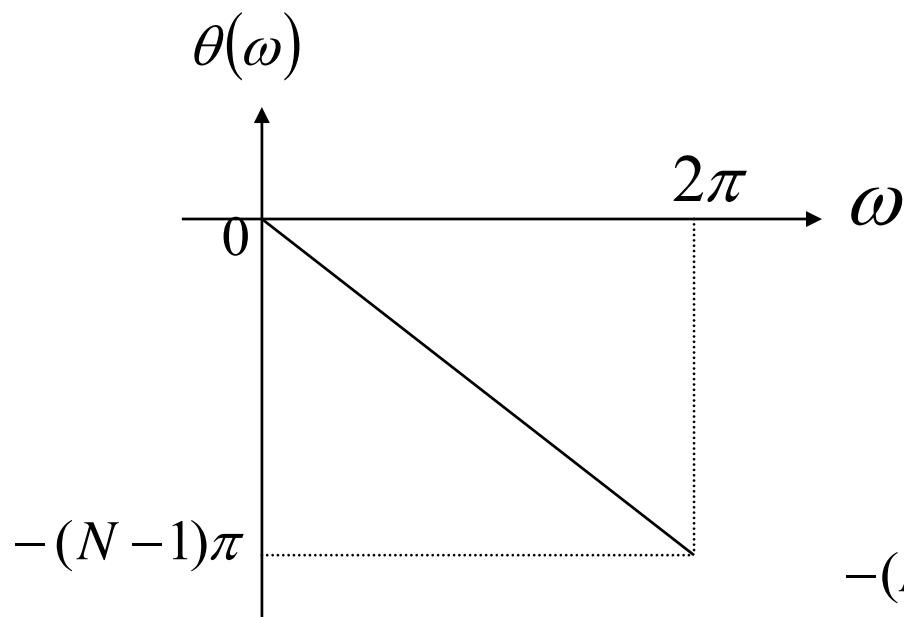
N为偶数



N even, negative symmetry

第一类线性相位FIRDF

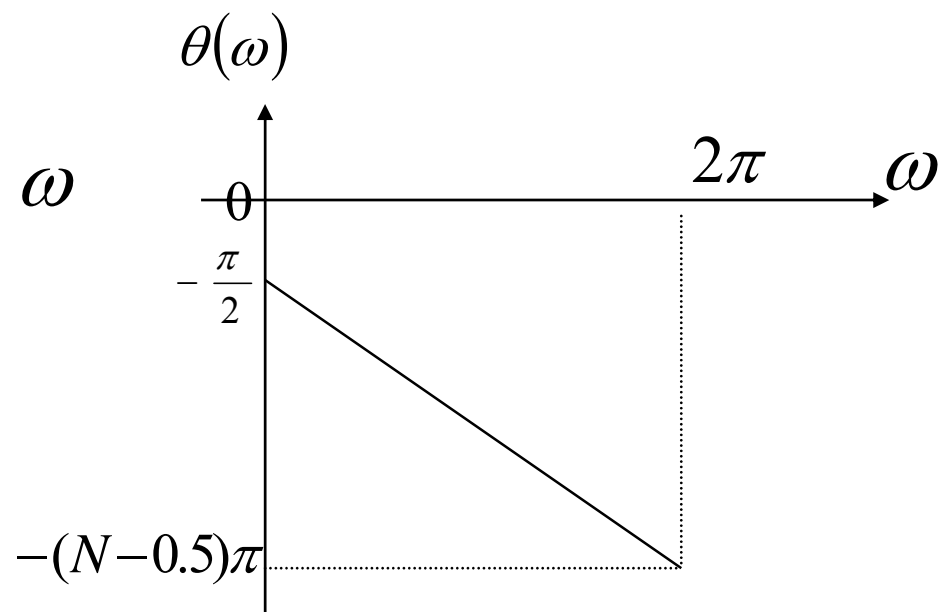
$$\theta(\omega) = -\omega(N-1)/2$$



$h(n)$ 偶对称

第二类线性相位FIRDF

$$\theta(\omega) = -\pi/2 - \omega(N-1)/2$$



$h(n)$ 奇对称

图1 线性相位特性

2.2 频域约束（对 $H_g(\omega)$ 的约束）

- 两类线性相位FIR滤波器在 N 取奇数和偶数时，幅度特性各不相同。

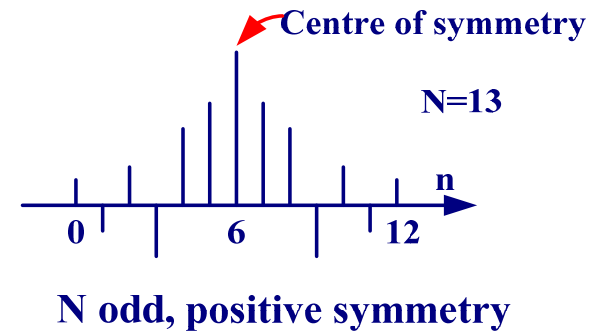
- 两个参数：
$$\tau = \frac{N-1}{2} \quad M = \left\lfloor \frac{N-1}{2} \right\rfloor$$

- (1) 情况1: $h(n)=h(N-n-1)$, N 为奇数
- (2) 情况2: $h(n)=h(N-n-1)$, N 为偶数
- (3) 情况3: $h(n)=-h(N-n-1)$, N 为奇数
- (4) 情况4: $h(n)=-h(N-n-1)$, N 为偶数

(1) 情况1: $h(n)=h(N-n-1)$, N 为奇数

□ 幅度特性:

$$H(e^{j\omega}) = \boxed{H_g(\omega) e^{-j\omega\tau}} = \sum_{n=0}^{N-1} h(n) e^{-j\omega n}$$



$$= h\left(\frac{N-1}{2}\right) e^{-j\omega \frac{N-1}{2}} + \sum_{n=0}^{M-1} [h(n) e^{-j\omega n} + h(N-n-1) e^{-j\omega(N-n-1)}]$$

$$= e^{-j\omega \frac{N-1}{2}} \left\{ h\left(\frac{N-1}{2}\right) + \sum_{n=0}^{M-1} [h(n) e^{-j\omega(n-\frac{N-1}{2})} + h(n) e^{j\omega(n-\frac{N-1}{2})}] \right\}$$

$$= \boxed{e^{-j\omega\tau} \left\{ h(\tau) + \sum_{n=0}^{M-1} [2h(n) \cos \omega(n-\tau)] \right\}} \quad \left(\tau = \frac{N-1}{2}\right)$$

$$\therefore H_g(\omega) = h(\tau) + \sum_{n=0}^{M-1} 2h(n) \cos[\omega(n-\tau)], \quad \theta(\omega) = -\omega\tau$$

(1) 情况1: $h(n)=h(N-n-1)$, N 为奇数

□ 幅度特性:

$$H_g(\omega) = h(\tau) + \sum_{n=0}^{M-1} 2h(n) \cos[\omega(n-\tau)]$$

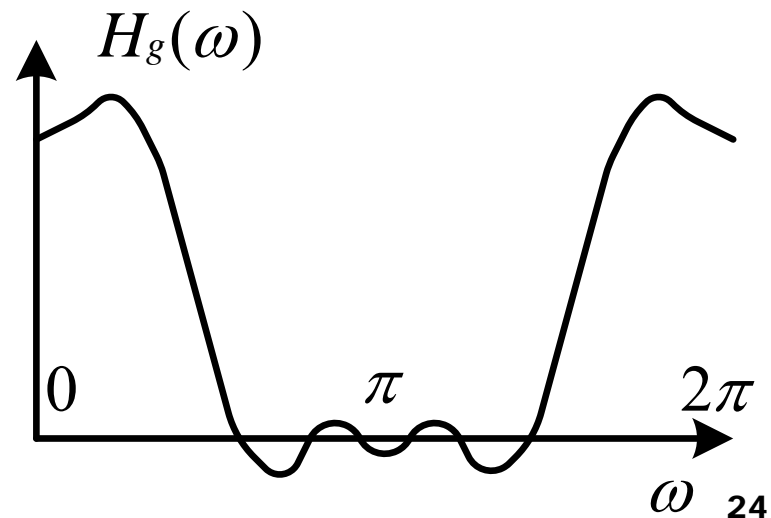
□ 相位特性:

$$\theta(\omega) = -\omega\tau$$

□ 由于 $\cos \omega(n-\tau)$ 关于 $\omega=0, \pi, 2\pi$ 偶对称, 因此 $H_g(\omega)$ 对这些频率也呈偶对称

□ 可实现的滤波器类型?

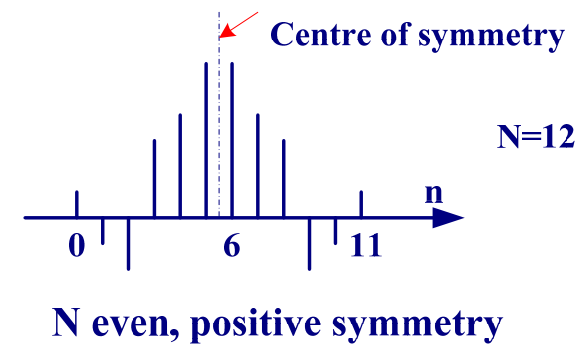
低通、高通、
带通、带阻



(2) 情况2: $h(n)=h(N-n-1)$, N 为偶数

□ 幅度特性:

$$H(e^{j\omega}) = H_g(\omega) e^{-j\omega\tau} = \sum_{n=0}^{N-1} h(n) e^{-j\omega n}$$



$$= \sum_{n=0}^M [h(n) e^{-j\omega n} + h(N-n-1) e^{-j\omega(N-n-1)}]$$

$$= e^{-j\omega \frac{N-1}{2}} \left\{ \sum_{n=0}^M [h(n) e^{-j\omega(n-\frac{N-1}{2})} + h(n) e^{j\omega(n-\frac{N-1}{2})}] \right\}$$

$$= e^{-j\omega\tau} \sum_{n=0}^M 2h(n) \cos \omega(n-\tau)$$

$$\therefore H_g(\omega) = \sum_{n=0}^M 2h(n) \cos[\omega(n-\tau)], \quad \theta(\omega) = -\omega\tau$$

(2) 情况2: $h(n)=h(N-n-1)$, N 为偶数

□ 幅度特性: $H_g(\omega) = \sum_{n=0}^M 2h(n) \cos[\omega(n-\tau)]$

□ 相位特性: $\theta(\omega) = -\omega\tau$

□ 由于 $\cos \omega(n-\tau)$ 关于 $\omega=0, 2\pi$ 偶对称, 因此 $H_g(\omega)$ 对这些频率也呈偶对称。

□ 由于 $\cos[\pi(n-\tau)] = \cos[\pi(n-N/2+1/2)] = -\sin[\pi(n-N/2)] = 0$

$$\therefore H_g(\pi) = 0$$

且 $\cos \omega(n-\tau)$ 关于 $\omega=\pi$ 奇对称, 故 $H_g(\omega)$ 也呈奇对称。

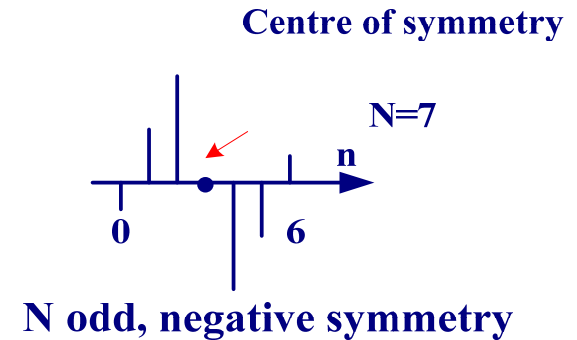
□ 可实现的滤波器类型?

不能用于设计高通、带阻滤波器。 ($H_g(\pi) = 0$)

(3) 情况3: $h(n)=-h(N-n-1)$, N 为奇数

□ 相位特性: $\theta(\omega) = -\pi/2 - \omega\tau$

□ 幅度特性:



$$H(e^{j\omega}) = H_g(\omega) e^{j\theta(\omega)} = \sum_{n=0}^{N-1} h(n) e^{-j\omega n} \quad h\left(\frac{N-1}{2}\right) = 0$$

$$= \sum_{n=0}^{M-1} \left[h(n) e^{-j\omega n} + h(N-n-1) e^{-j\omega(N-n-1)} \right]$$

$$= \sum_{n=0}^{M-1} \left[h(n) e^{-j\omega n} - h(n) e^{-j\omega(N-n-1)} \right]$$

(3) 情况3: $h(n)=-h(N-n-1)$, N 为奇数

$$\begin{aligned} H(e^{j\omega}) &= \sum_{n=0}^{M-1} [h(n)e^{-j\omega n} - h(n)e^{-j\omega(N-n-1)}] \\ &= e^{-j\omega\left(\frac{N-1}{2}\right)} \sum_{n=0}^{M-1} \left[h(n)e^{-j\omega\left(n-\frac{N-1}{2}\right)} - h(n)e^{j\omega\left(n-\frac{N-1}{2}\right)} \right] \\ &= -je^{-j\omega\left(\frac{N-1}{2}\right)} \sum_{n=0}^{M-1} 2h(n) \sin \left[\omega \left(n - \frac{N-1}{2} \right) \right] \\ &= e^{-j\left[\omega\tau + \frac{\pi}{2}\right]} \sum_{n=0}^{M-1} 2h(n) \sin [\omega(n-\tau)] = H_g(\omega) e^{j\theta(\omega)} \\ \therefore H_g(\omega) &= \sum_{n=0}^{M-1} 2h(n) \sin [\omega(n-\tau)] \end{aligned}$$

(3) 情况3: $h(n)=-h(N-n-1)$, N 为奇数

□ 相位特性: $\theta(\omega) = -\pi/2 - \omega\tau$

□ 幅度特性: $H_g(\omega) = \sum_{n=0}^{M-1} 2h(n)\sin[\omega(n-\tau)]$

□ $\sin[\omega(n-\tau)]$ 关于 $\omega=0, \pi, 2\pi$ 点呈奇对称, 故 $H_g(\omega)$ 对这些点也呈奇对称

□ $\omega=0, \pi, 2\pi$ 时, $\sin n\omega = 0, H_g(\omega) = 0$, 即 $H(z)$ 在 $z = \pm 1$ 处有两个零点

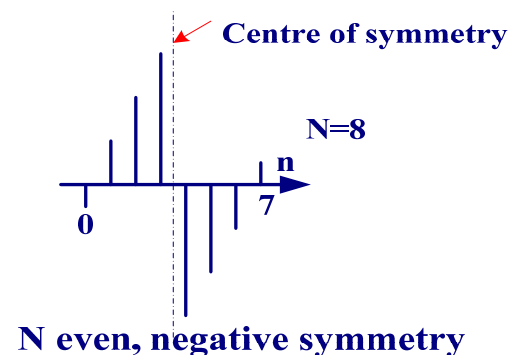
□ 可实现的滤波器类型?

不能设计 $H(0) \neq 0$ 和 $H(\pi) \neq 0$ 的滤波器, 故不能实现低通、高通和带阻滤波器, 只能实现带通滤波器。

(4) 情况4: $h(n)=-h(N-n-1)$, N 为偶数

□ 相位特性: $\theta(\omega) = -\pi/2 - \omega\tau$

$$\tau = N/2 - 1/2$$



□ 幅度特性: $H_g(\omega) = \sum_{n=0}^M 2h(n) \sin[\omega(n-\tau)]$

□ $H_g(\omega)$ 在 $\omega=0, 2\pi$ 处为零, 即 $\mathbf{H(z)}$ 在 $\mathbf{z=1}$ 处有零点

□ $H_g(\omega)$ 关于 $\omega=0, 2\pi$ 奇对称, 关于 $\omega=\pi$ 偶对称

□ 可实现的滤波器类型?

不能用于设计低通和带阻滤波器 $(H_g(0) = 0)$

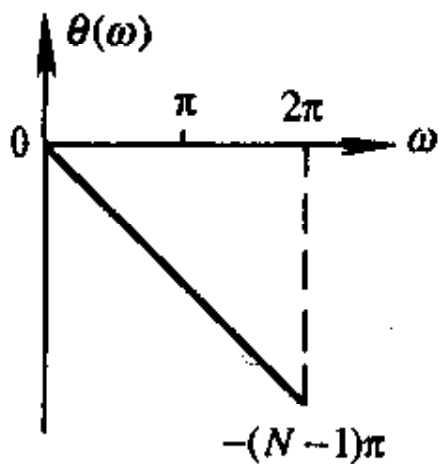
$$(H_g(2\pi) = 0)$$

偶对称单位脉冲响应

$$h(n) = h(N-1-n)$$

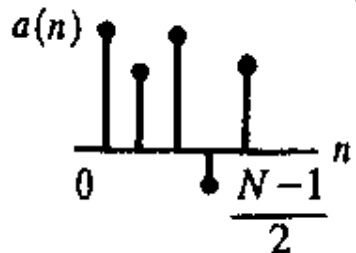
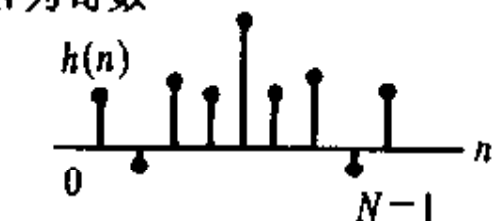
相位响应

$$\theta(\omega) = -\omega \left(\frac{N-1}{2} \right)$$

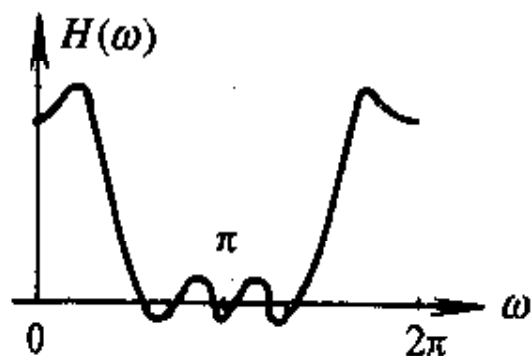


情况 1

N 为奇数

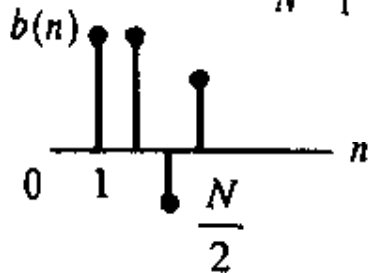
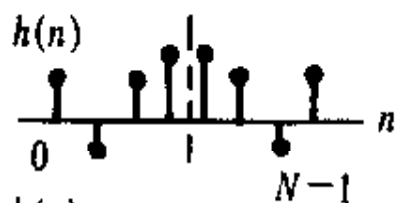


$$H_g(\omega) = \sum_{n=0}^{(N-1)/2} a(n) \cos n\omega$$

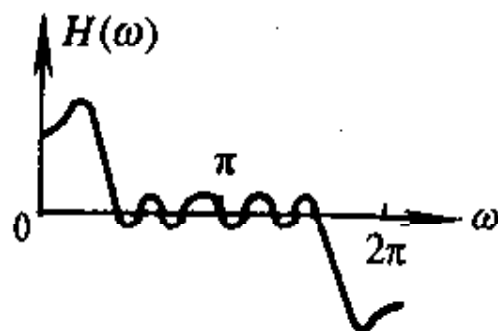


情况 2

N 为偶数



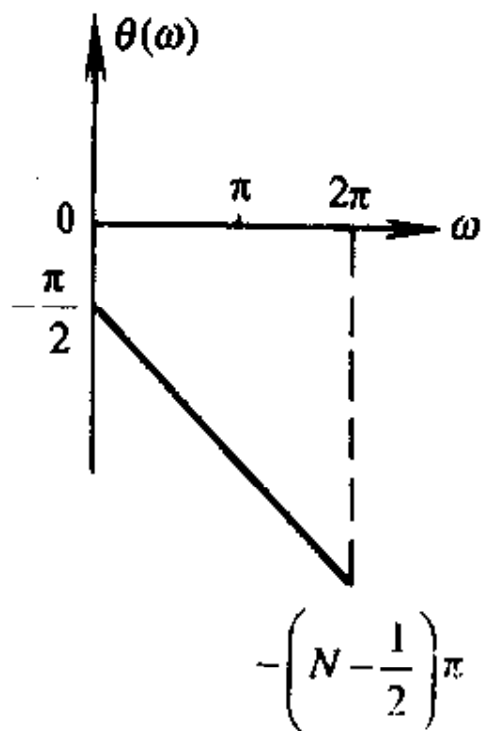
$$H_g(\omega) = \sum_{n=1}^{N/2} b(n) \cos \left[\left(n - \frac{1}{2} \right) \omega \right]$$



情况 3

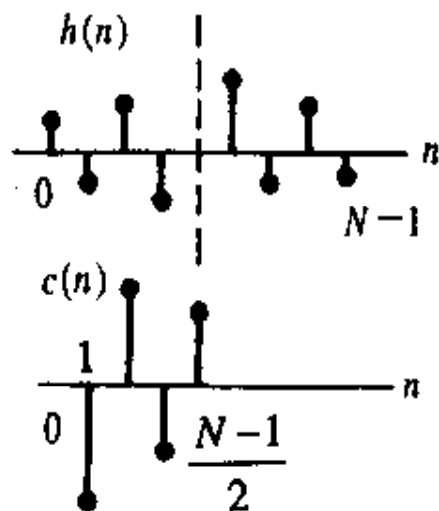
相位响应

$$\theta(\omega) = -\omega \left(\frac{N-1}{2} \right) - \frac{\pi}{2}$$

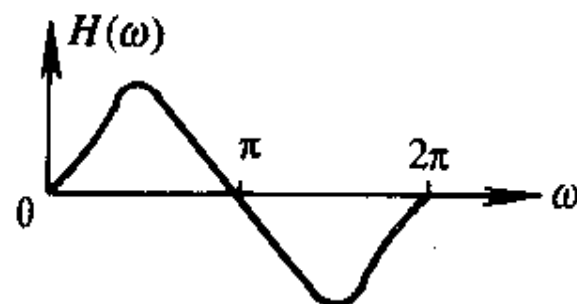


情况 4

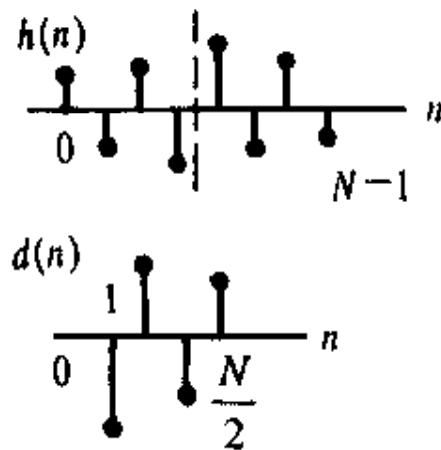
N 为奇数



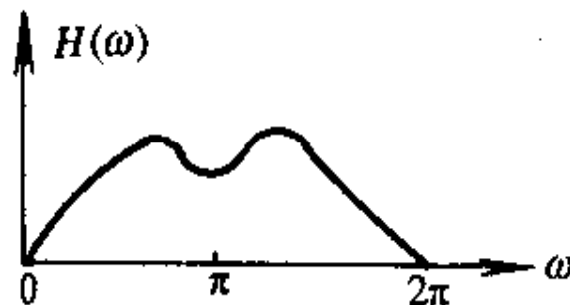
$$H_g(\omega) = \sum_{n=1}^{(N-1)/2} c(n) \sin(n\omega)$$



N 为偶数



$$H_g(\omega) = \sum_{n=1}^{N/2} d(n) \sin \left[\omega \left(n - \frac{1}{2} \right) \right]$$





【总结】四种线性相位FIR DF特性

第一种情况， $h(n)$ 偶、 N 奇，四种滤波器都可设计

第二种情况， $h(n)$ 偶、 N 偶，可设计低、带通滤波器，不能设计高通和带阻。

第三种情况， $h(n)$ 奇、 N 奇，只能设计带通滤波器，其它滤波器都不能设计。

第四种情况， $h(n)$ 奇、 N 偶，可设计高通、带通滤波器，不能设计低通和带阻。

一般微分器与 90° 相移器用3、4；

选频性滤波器用1、2。

例1 $N=5, h(0) = h(1) = h(3) = h(4) = -1/2, h(2) = 2$, 求幅度函数 $H(\omega)$ 。

解: N 为奇数并且 $h(n)$ 满足偶对称关系

$$a(0) = h(2) = 2$$

$$a(1) = 2h(1) = -1$$

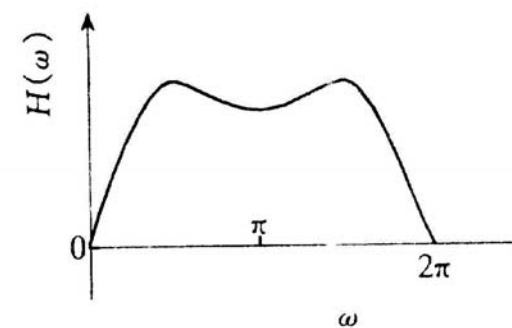
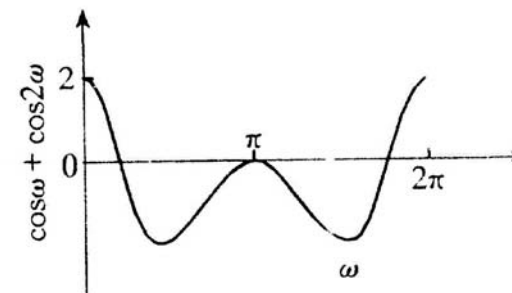
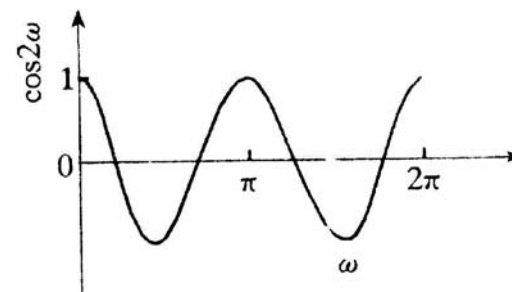
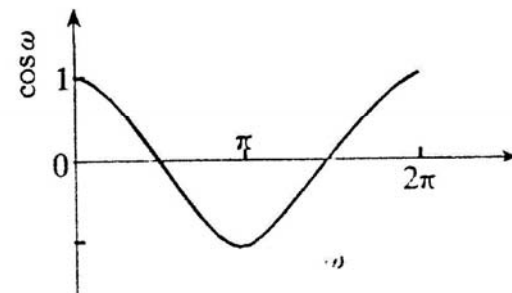
$$a(2) = 2h(0) = -1$$

$$H(\omega) = 2 - \cos\omega - \cos 2\omega$$

$$= 2 - (\cos\omega + \cos 2\omega)$$

$$a(0) = h\left(\frac{N-1}{2}\right), a(n) = 2h\left(\frac{N-1}{2} - n\right), n = 1, 2, \dots, \frac{N-1}{2}$$

$$H(\omega) = \sum_{n=0}^{N-1/2} a(n) \cos n\omega$$





小结:

- 四种**FIR**数字滤波器的**相位特性**只取决于 **$h(n)$** 的**对称性**，而与 **$h(n)$** 的值无关。
- **幅度特性**取决于 **$h(n)$** 。
- 设计**FIR**数字滤波器时，在**保证 $h(n)$ 对称**的条件下，只要完成**幅度特性的逼近**即可。

2.3 线性相位FIR滤波器的零点特性

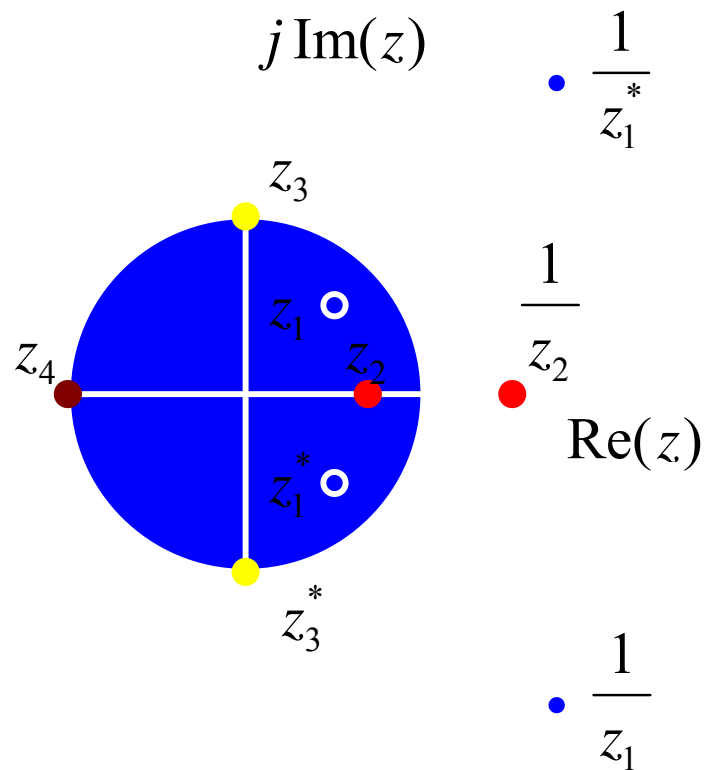
$$\because h(n) = \pm h(N-1-n)$$

$$\begin{aligned} H(z) &= \sum_{n=0}^{N-1} h(n) z^{-n} = \pm \sum_{n=0}^{N-1} h(N-n-1) z^{-n} \\ &= \pm \sum_{m=0}^{N-1} h(m) z^{-(N-1-m)} = \pm z^{-(N-1)} \sum_{m=0}^{N-1} h(m) z^{+m} \\ &= \pm z^{-(N-1)} H(z^{-1}) \end{aligned}$$

- 如 $z = z_i$ 是 $H(z)$ 的零点，其倒数 z_i^{-1} 也是其零点；
- 因 $h(n)$ 是实序列， $H(z)$ 的零点必共轭成对， z_i^* 和 $(z_i^{-1})^*$ 也是其零点；

$$H(z) = \pm z^{-(N-1)} H(z^{-1})$$

- 所以线性相位滤波器的零点必须是互为倒数的共轭对，即成四出现，确定其中一个零点，其他零点也随之确定。

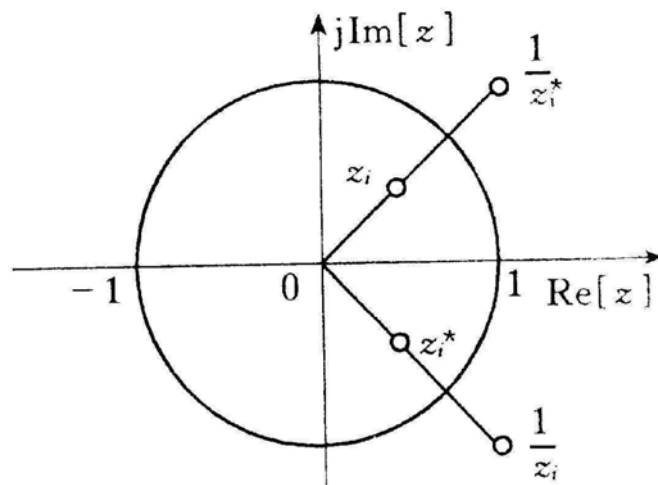


零点分别是复数、
纯虚数、实数和
单位圆上的实数

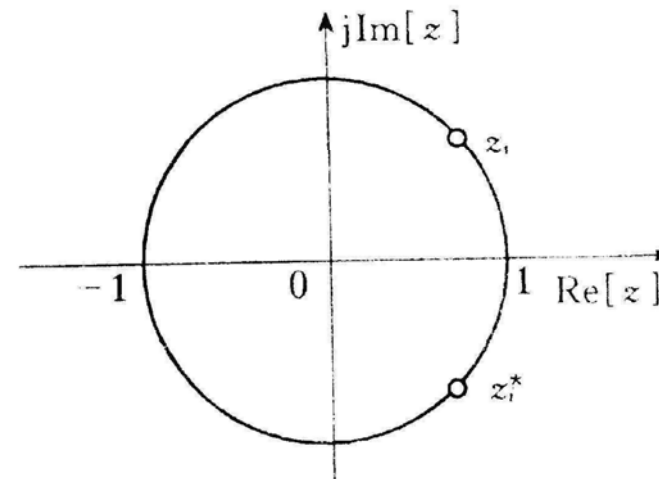
这种共轭对共有四种可能的情况：

①既不在单位圆上，也不在实轴上，有四个互为倒数的两组共轭对， z_i ， z_i^* ， $1/z_i$ 和 $1/z_i^*$ ，图(a)

②在单位圆上，但不在实轴上，因倒数就是自己的共轭，所以有一对共轭零点， z_i ， z_i^* ，图(b)



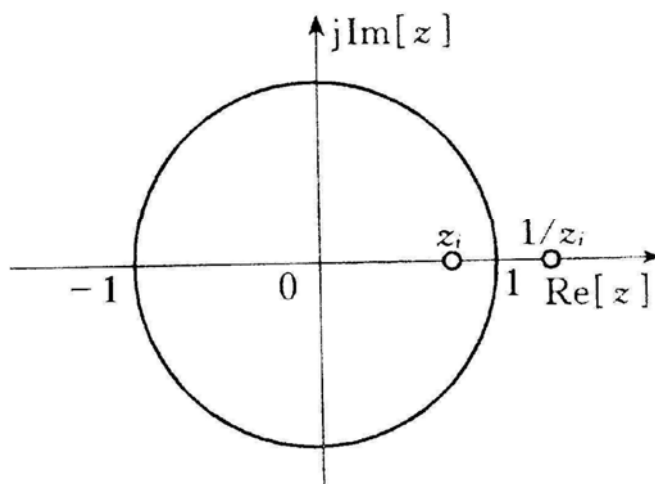
(a) z_i 既不在单位圆上也不在实轴上



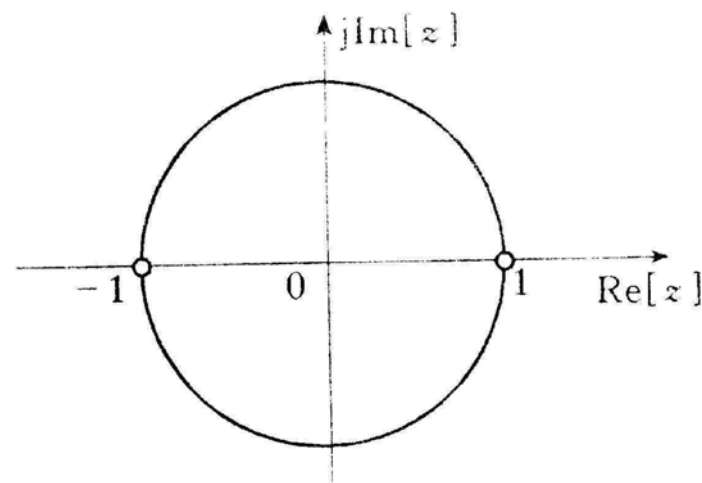
(b) z_i 在单位圆上但不在实轴上

③不在单位圆上，但在实轴上，是实数，共轭就是自己，所以有一对互为倒数的零点， z_i 和 $1/z_i$ ，图(c)

④又在单位圆上，又在实轴上，共轭和倒数都合为一点，所以成单出现，只有两种可能， $z_i=1$ 或 $z_i=-1$ ，图(d)



(c) z_i 在实轴上但不在单位圆上



(d) z_i 既在单位圆上又在实轴上

7.2窗函数设计FIRDF (Window Method)

■ FIRDF的设计思想

- 保证线性相位
- 逼近理想滤波器 $H_d(e^{j\omega})$
 - 窗函数设计法 (时域逼近)
 - 频率采样法 (频域逼近)
 - 最优化设计 (等波纹逼近)

■ 窗函数设计法:

- $h_d(n)$ 一般情况下是无穷序列, 不能直接作为FIRDF的单位脉冲响应; 需对其进行截断, 即时域加窗
- 加窗的影响?
- 窗函数的设计? (用合适的窗函数对截取的有限长序列进行加权)

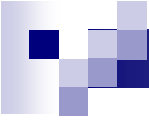
7.2窗函数设计FIRDF的基本方法

1. 构造希望逼近的理想滤波器，如：理想低通滤波器

$$H_d(e^{j\omega}) = \begin{cases} e^{-j\omega\tau}, & |\omega| \leq \omega_c \\ 0, & \omega_c < |\omega| \leq \pi \end{cases}$$

2. 求 $h_d(n)$

$$\begin{aligned} h_d(n) &= \frac{1}{2\pi} \int_{-\pi}^{\pi} H_d(e^{j\omega}) e^{j\omega n} d\omega \\ &= \frac{1}{2\pi} \int_{-\omega_c}^{\omega_c} e^{-j\omega\tau} e^{j\omega n} d\omega \end{aligned}$$


$$h_d(n) = \frac{\omega_c}{\pi} Sa[\omega_c(n - \tau)] = \frac{\sin(\omega_c(n - \tau))}{\pi(n - \tau)}$$

- 无限长、非因果的

3. 用窗函数法设计**FIR**滤波器，时域加窗

$$h(n) = h_d(n)w(n)$$

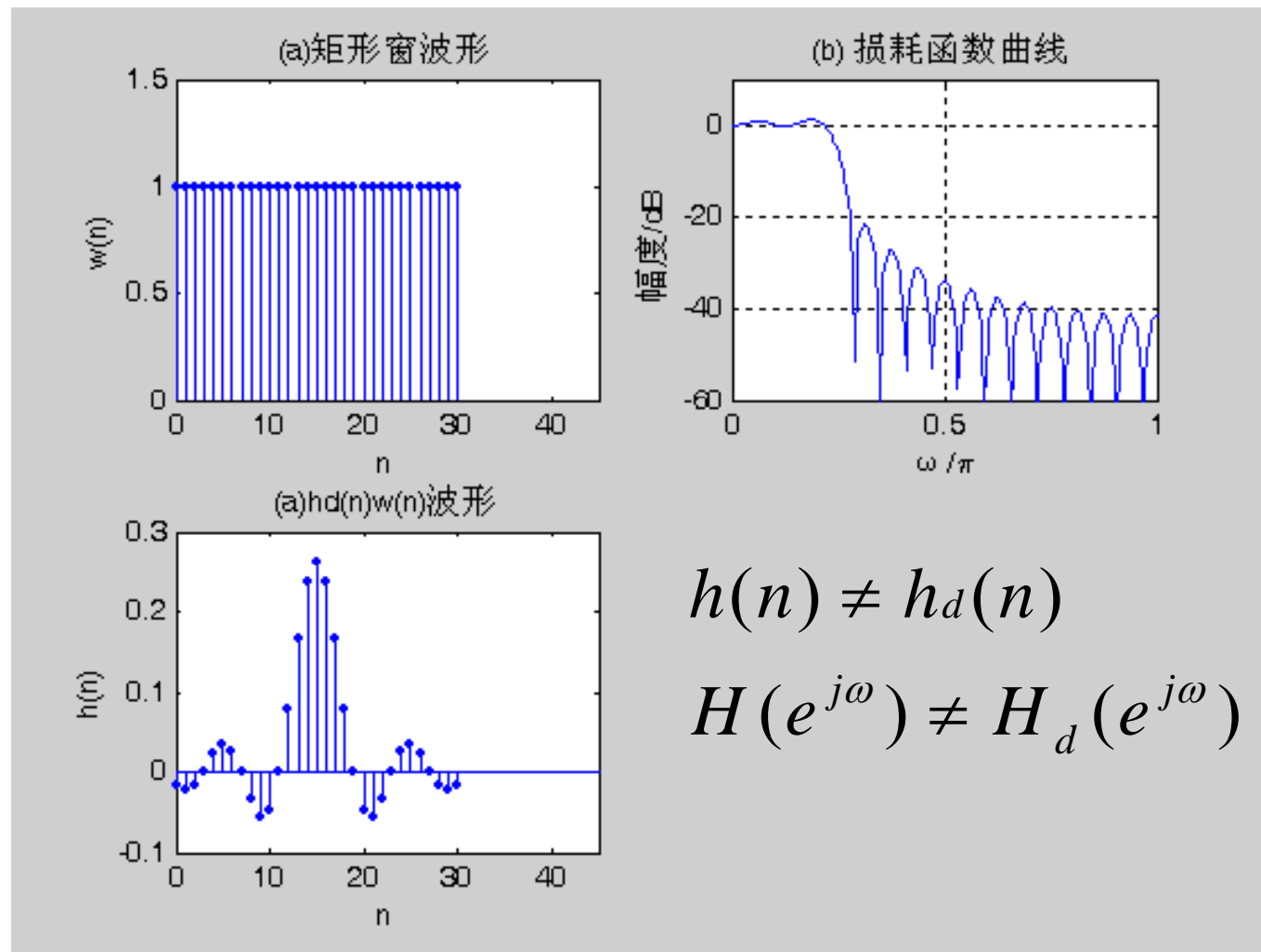
- $w(n)$ 称为窗函数，长度为**N**
- 如设计第一类线性相位，要求 $h(n) = h(N - 1 - n)$
- $h_d(n)$ 关于 $n = \tau$ 点偶对称，则 $\tau = (N - 1) / 2$
- 同时 $w(n)$ 关于 $(N - 1) / 2$ 点偶对称

$$H(e^{j\omega}) = FT[h(n)] = H_g(\omega)e^{j\theta(\omega)}$$

■ 例：理想低通滤波器 $\omega_c = \pi / 4$ ，矩形窗 **N=31**

存在误差！

- 原因？
- 逼近误差定量估计？



7.2.2 窗函数法的设计性能分析

- 矩形窗函数:

$$w_R(n) = R_N(n) = \begin{cases} 1, 0 \leq n \leq N-1 \\ 0, \text{其它}n \end{cases}$$

- 其频率响应为:

$$W_R(e^{j\omega}) = FT[w_R(n)] = \frac{\sin(\omega N/2)}{\sin(\omega/2)} e^{-j\frac{1}{2}(N-1)\omega}$$

$$= W_{Rg}(\omega) e^{-j\omega\tau}$$

$$\tau = N/2 - 1/2$$



- 理想滤波器

$$H_d(e^{j\omega}) = H_{dg}(\omega)e^{-j\omega\tau}$$

- 加窗得到的**FIRDF**的单位脉冲响应为

$$h(n) = h_d(n)w_R(n)$$

- **h(n)**的频率响应函数

$$H(e^{j\omega}) = FT[h(n)] = \frac{1}{2\pi} H_d(e^{j\omega}) * W_R(e^{j\omega})$$

$$\begin{aligned}
H(e^{j\omega}) &= \frac{1}{2\pi} H_d(e^{j\omega}) * W_R(e^{j\omega}) \\
&= \frac{1}{2\pi} \int_{-\pi}^{\pi} H_d(e^{j\theta}) W_R(e^{j(\omega-\theta)}) d\theta \\
&= \frac{1}{2\pi} \int_{-\pi}^{\pi} H_{dg}(\theta) e^{-j\theta\tau} W_{Rg}(\omega-\theta) e^{-j(\omega-\theta)\tau} d\theta \\
&= e^{-j\omega\tau} \frac{1}{2\pi} \int_{-\pi}^{\pi} H_{dg}(\theta) W_{Rg}(\omega-\theta) d\theta \\
&= e^{-j\omega\tau} \frac{1}{2\pi} H_{dg}(\omega) * W_{Rg}(\omega) \\
&= e^{j\theta(\omega)} H_g(\omega)
\end{aligned}$$

$$H_g(\omega) = \frac{1}{2\pi} H_{dg}(\omega) * W_{Rg}(\omega)$$

$$\theta(\omega) = -\omega\tau = -\omega(N-1)/2$$

- **幅度特性**等于理想低通滤波器的幅度特性与窗函数幅度特性的卷积
- **相位保持严格线性**
- 因此，只需分析幅度逼近误差

$$H_g(\omega) = \frac{1}{2\pi} H_{dg}(\omega) * W_{Rg}(\omega)$$

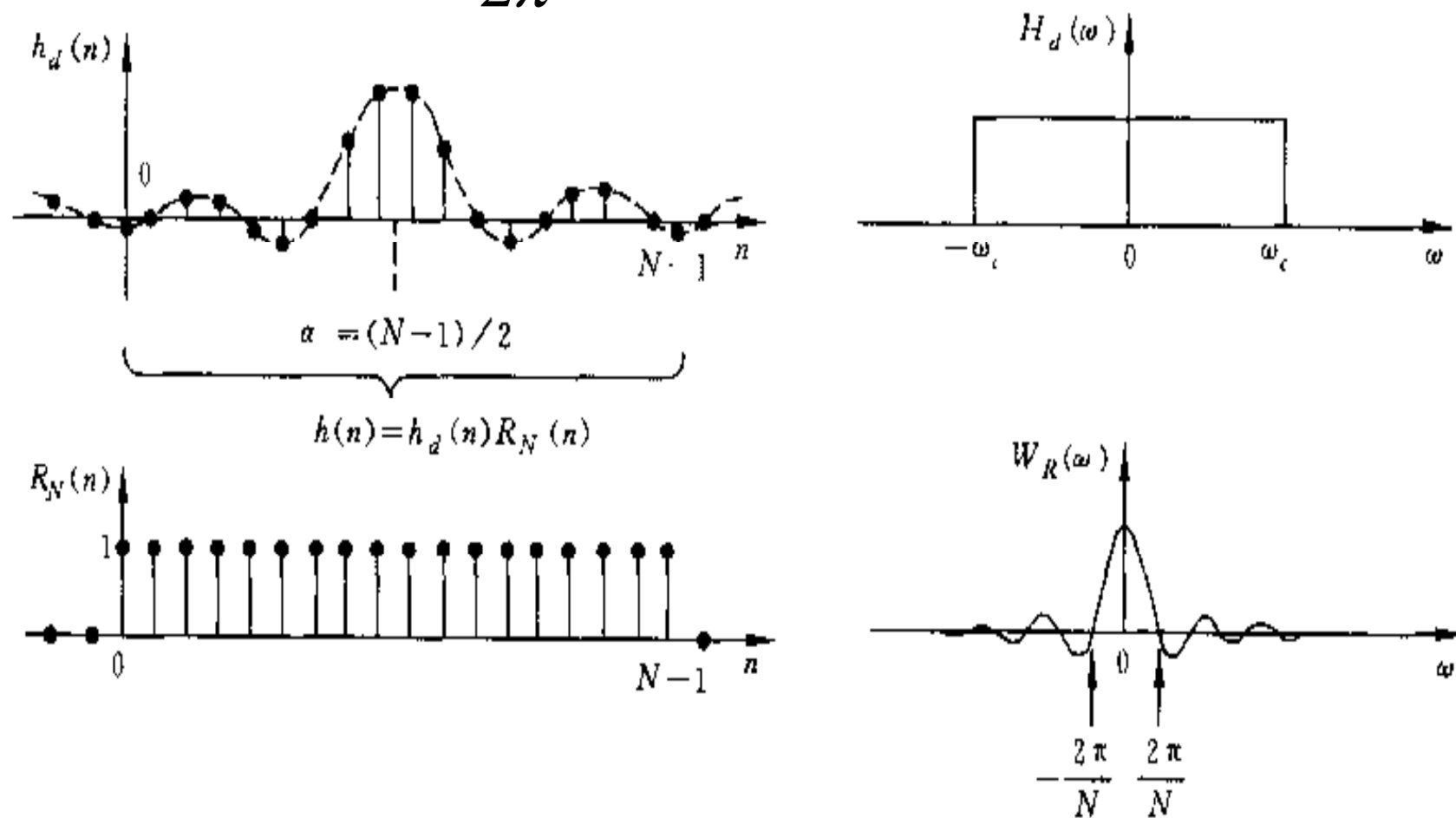
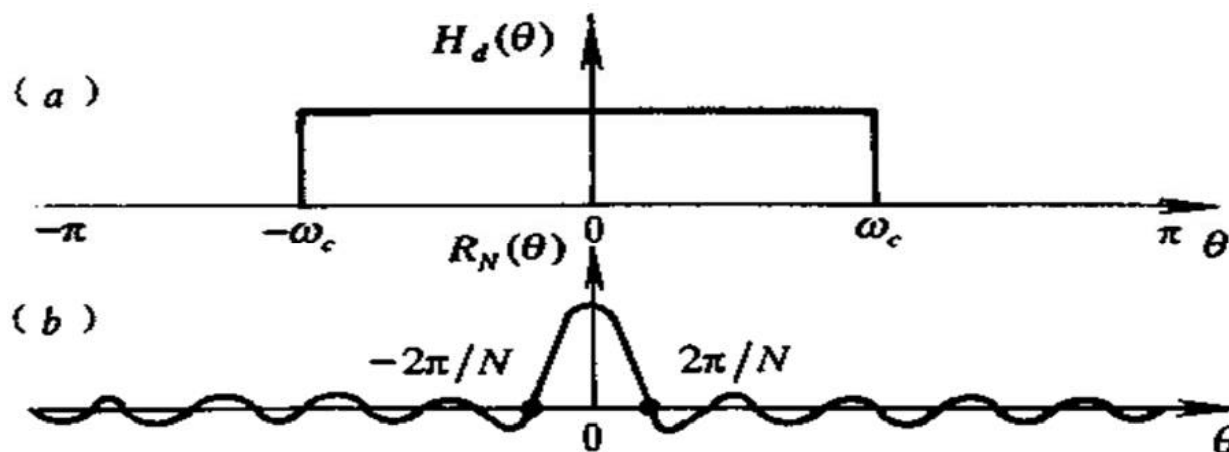


图 7-7 理想矩形幅频特性的 $h_d(n)$ 和 $H_d(\omega)$ 以及矩形窗函数序列的 $w(n) = R_N(n)$ 及 $W_R(\omega)$

对 $h_d(n)$ 加矩形窗处理后, 其频率响应的几点影响:

$\omega = 0$ 时, $H_g(0)$ 等于 $W_{Rg}(\omega)$ 在 $[-\omega_c, \omega_c]$ 内的积分面积,

因 $\omega_c \gg \frac{2\pi}{N}$, 故 $H_g(0)$ 近似等于在 $[-\pi, \pi]$ 内的积分面积。

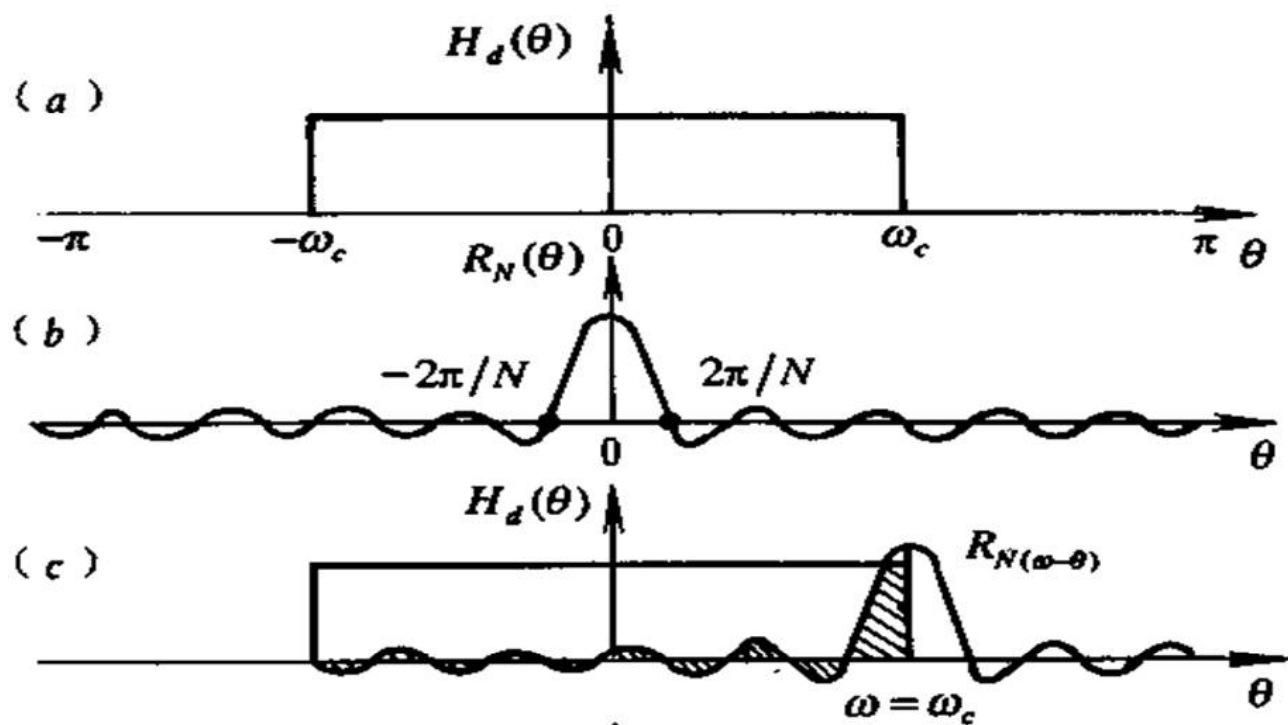


$$H_g(\omega) = \frac{1}{2\pi} H_{dg}(\omega) * W_{Rg}(\omega) = \frac{1}{2\pi} \int_{-\pi}^{\pi} H_{dg}(\theta) W_{Rg}(\omega - \theta) d\theta$$

对 $h_d(n)$ 加矩形窗处理后，其频率响应的几点影响：

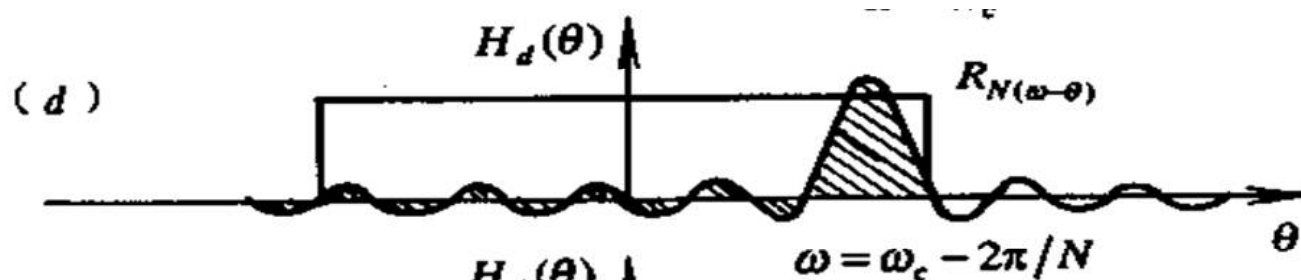
$\omega = \omega_c$ 时， $W_{Rg}(\omega)$ 与理想滤波器幅度特性 **一半重叠**，

$$H_g(\omega_c) = \frac{1}{2} H_g(0)$$

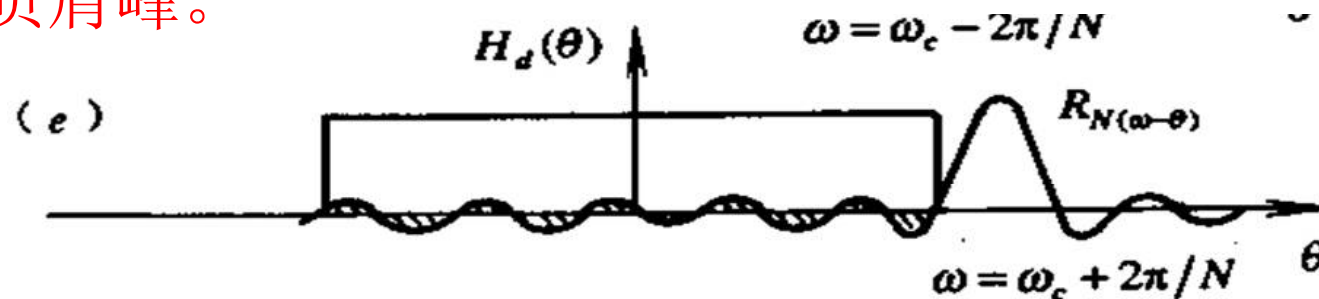


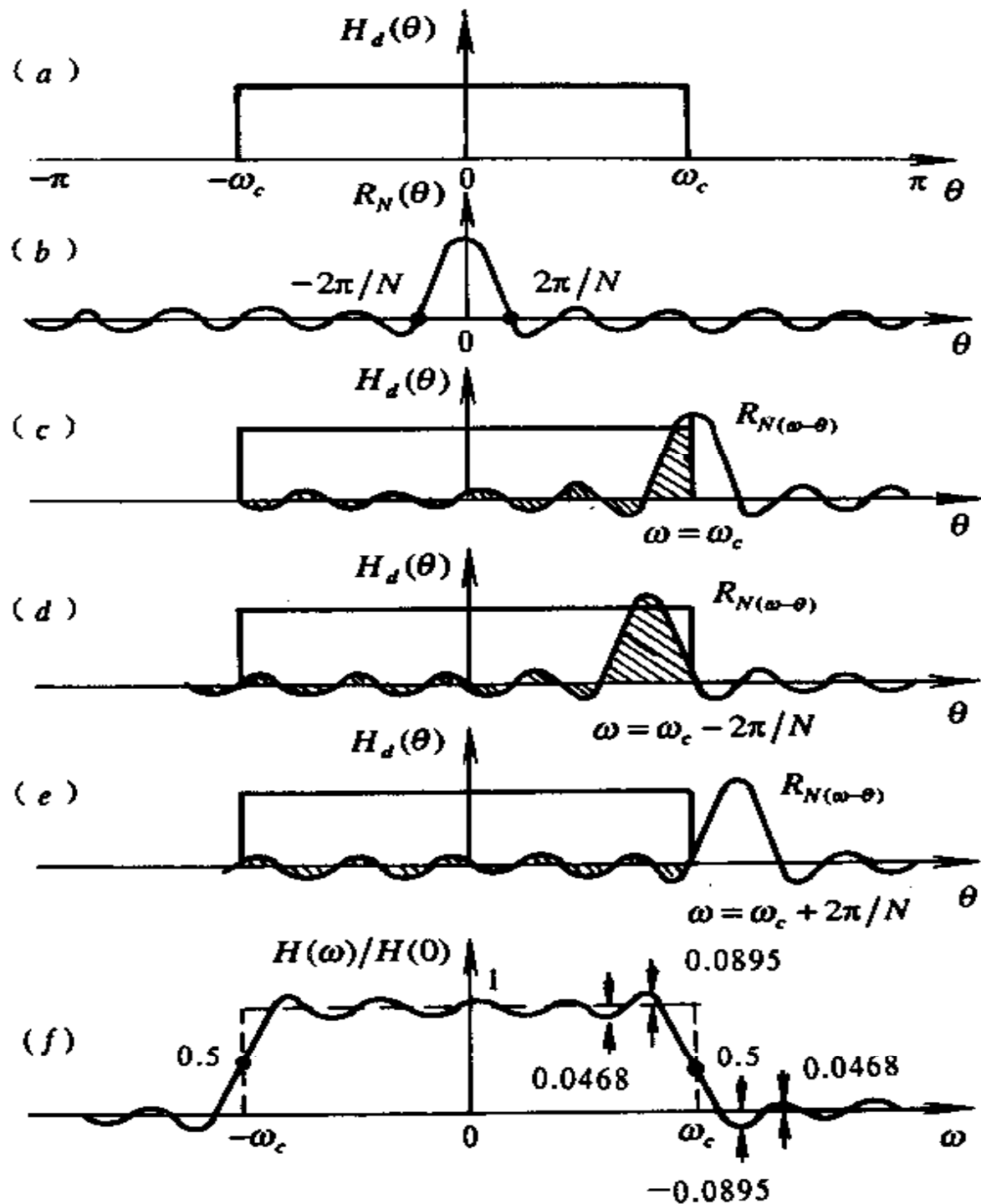
对 $h_d(n)$ 加矩形窗处理后，其频率响应的几点影响：

$\omega = \omega_c - 2\pi/N$ 时， $W_{Rg}(\omega)$ 的一个负旁瓣在理想滤波器的通带外，出现**正肩峰**。



$\omega = \omega_c + 2\pi/N$ 时， $W_{Rg}(\omega)$ 的一个主瓣在理想滤波器的通带外，一个负旁瓣在理想滤波器的通带内，出现**负肩峰**。



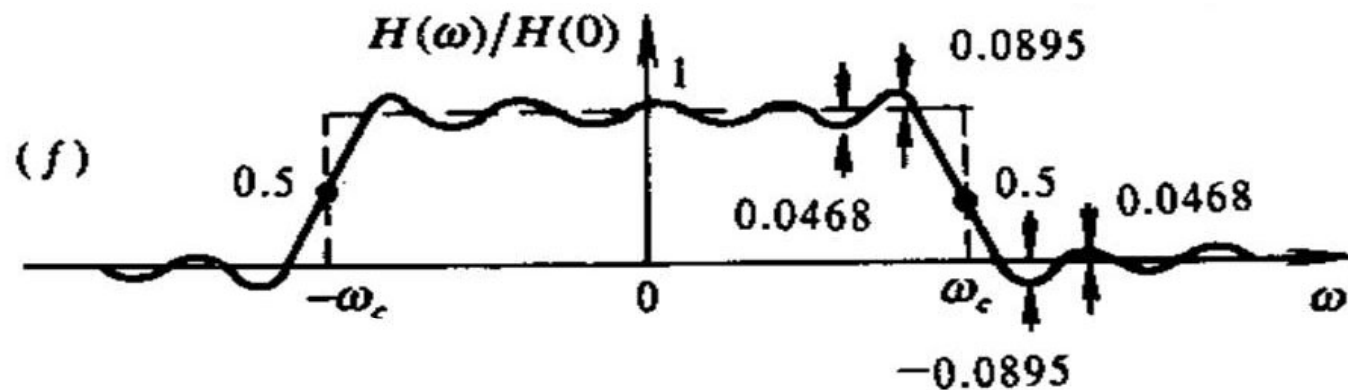


卷积结果

矩形窗对理想低通
幅度特性的影响

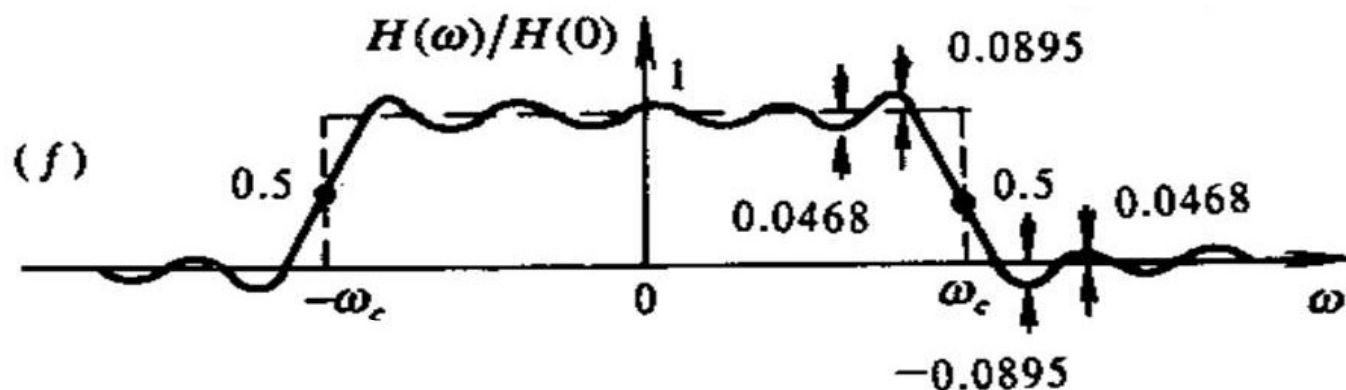
对 $h_d(n)$ 加矩形窗处理后，其频率响应的几点影响：

- 改变了理想频响的边沿特性，形成过渡带，宽为 $4\pi/N$ ，等于 $W_{Rg}(\omega)$ 的主瓣宽度。（决定于窗长）
- 通带、阻带均有纹波，纹波取决于 $W_{Rg}(\omega)$ 的旁瓣，旁瓣幅度大，纹波幅度大，与窗口长度 N 无关。（决定于窗口形状）



对 $h_d(n)$ 加矩形窗处理后，其频率响应的几点影响：

- **N**增加,过渡带宽减小,肩峰值不变。
- **N**的变化不能改变主瓣与旁瓣的比例关系，只能改变绝对值大小和起伏的密度，当**N**增加时，幅值变大，起伏变密，而最大肩峰永远为**8.95%**，这种现象称为吉布斯（**Gibbs**）效应。



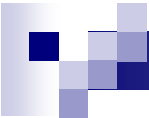


改变窗函数的形状，可改善滤波器的特性。

窗函数有许多种，但要满足以下两点要求：

- ① 窗谱主瓣宽度要窄，以获得较陡的过渡带；
- ② 相对于主瓣幅度，旁瓣要尽可能小，使能量尽量集中在主瓣中，这样就可以减小肩峰和余振，以提高阻带衰减和通带平稳性。

然而，实际上这两点不能兼得，一般总是通过增加主瓣宽度，即加宽过渡带为代价，来换取对旁瓣的抑制。



7.2.3 典型窗函数介绍（6种）

- 典型窗函数及其幅度特性，窗函数设计FIRDF的性能指标

→ 选择合适的窗函数类型和长度

- 矩形窗
- 三角窗
- 升余弦（汉宁）窗
- 改进升余弦（哈明）窗
- 布莱克曼窗
- 凯塞窗

7.2.3 典型窗函数介绍（6种）

1. 矩形窗

$$w_R(n) = R_N(n)$$

$$\begin{aligned} W_R(e^{j\omega}) &= FT[w_R(n)] = \frac{\sin(\omega N/2)}{\sin(\omega/2)} e^{-j\frac{1}{2}(N-1)\omega} \\ &= W_{Rg}(\omega) e^{-j\omega\tau} \end{aligned}$$

■ 描述参数

- 旁瓣峰值 α_n : 窗函数的幅度函数 $|W_{Rg}(\omega)|$ 的最大旁瓣相对于主瓣最大值的衰减（dB）。

$$\text{矩形窗 } \alpha_n = -13dB$$

■ 描述参数

□ 过渡带宽度 (FIRDF) $\Delta B = 4\pi / N$

□ 阻带最小衰减 (FIRDF) $\alpha_s = -21dB$

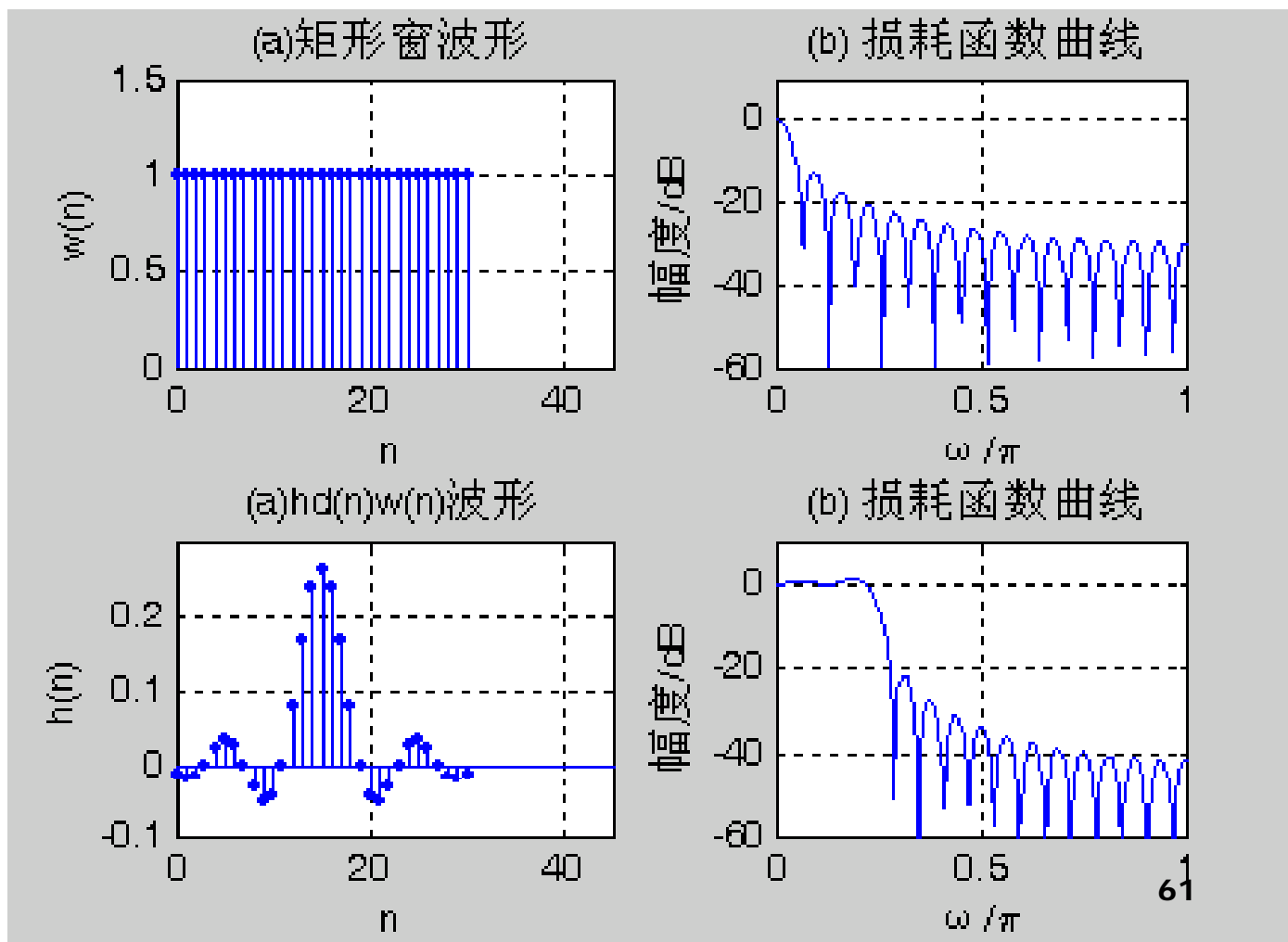
四种波形:

窗函数时域波形、
幅度特性函数曲线、
FIRDF的单位脉冲响应和损
耗函数曲线

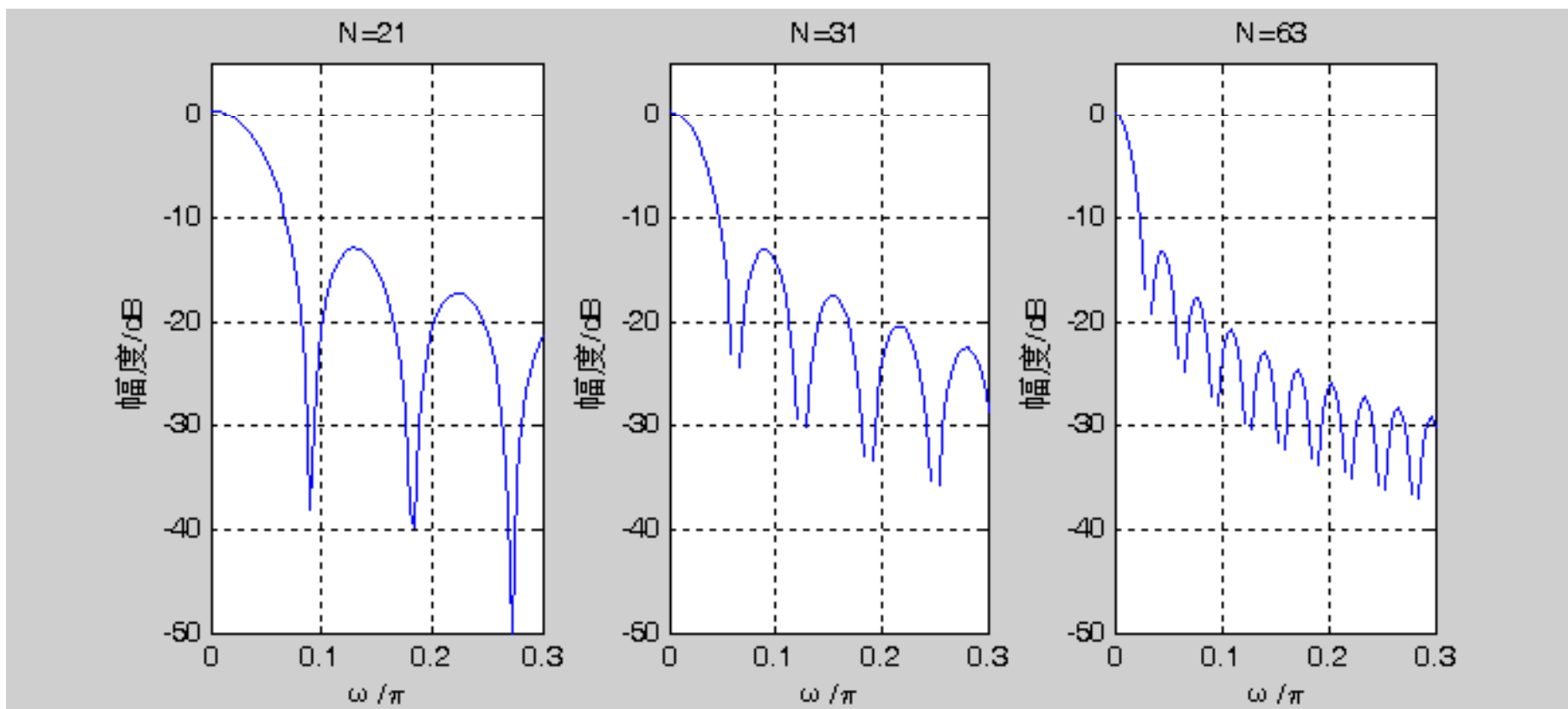
理想低通

$$\omega_c = \pi / 2$$

$$N = 31$$



窗函数长度对幅度特性主瓣宽度的影响



- 主瓣宽度与 N 成反比，即滤波器过渡带宽与 N 成反比
- N 增大，旁瓣峰值不变，不能改善阻带的衰减特性

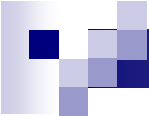
2.三角窗 (Bartlett Window)

■ 窗函数

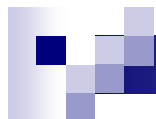
$$w_B(n) = \begin{cases} \frac{2n}{N-1}, & 0 \leq n \leq \frac{1}{2}(N-1) \\ 2 - \frac{2n}{N-1}, & \frac{1}{2}(N-1) < n \leq N-1 \end{cases}$$

■ 频率响应

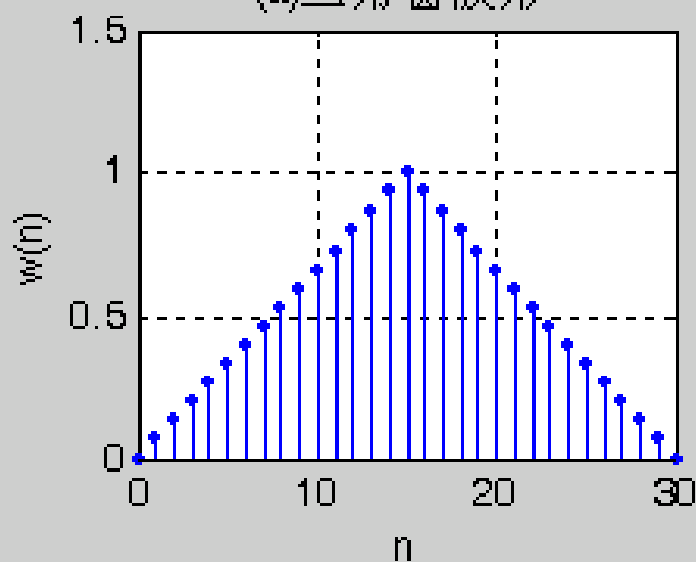
$$W_B(e^{j\omega}) = \frac{2}{N} \left[\frac{\sin(\frac{N}{4}\omega)}{\sin(\frac{\omega}{2})} \right]^2 e^{-j\omega(N-1)/2}$$


$$W_{Bg}(\omega) = \frac{2}{N} \left[\frac{\sin\left(\frac{N}{4}\omega\right)}{\sin\left(\frac{\omega}{2}\right)} \right]^2$$

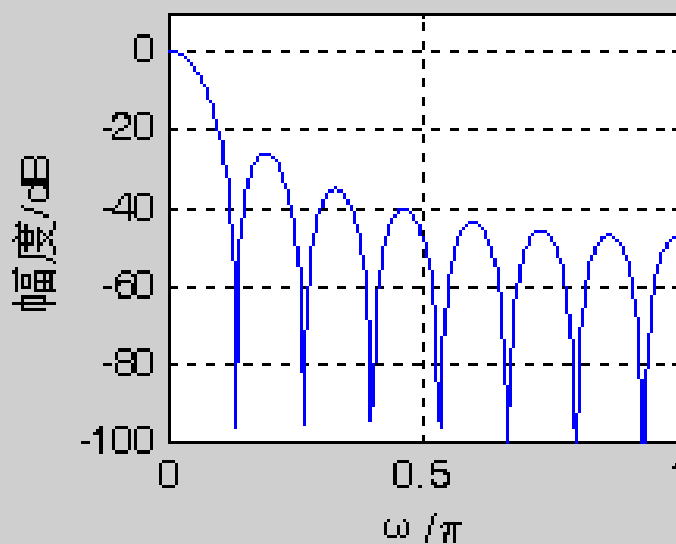
- 其主瓣宽度为 $8\pi / N$ ， 第一旁瓣比主瓣低**25dB**。
- $\alpha_n = -25dB$, $\alpha_s = -25dB$, $\Delta B = 8\pi / N$



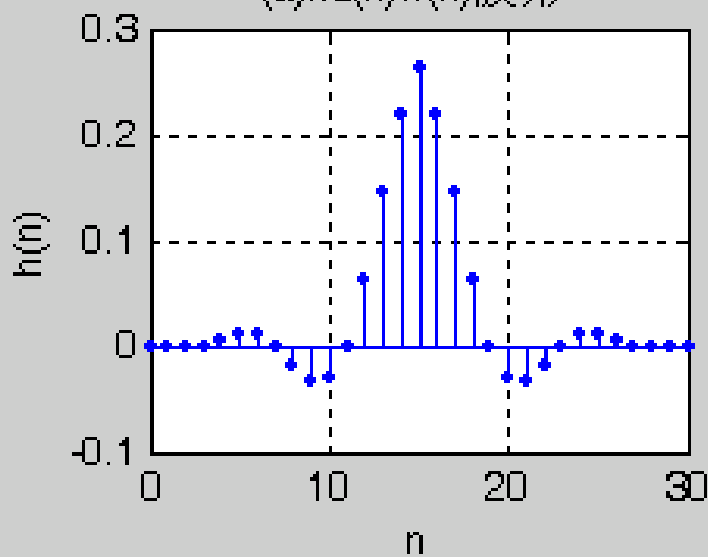
(a)三角窗波形



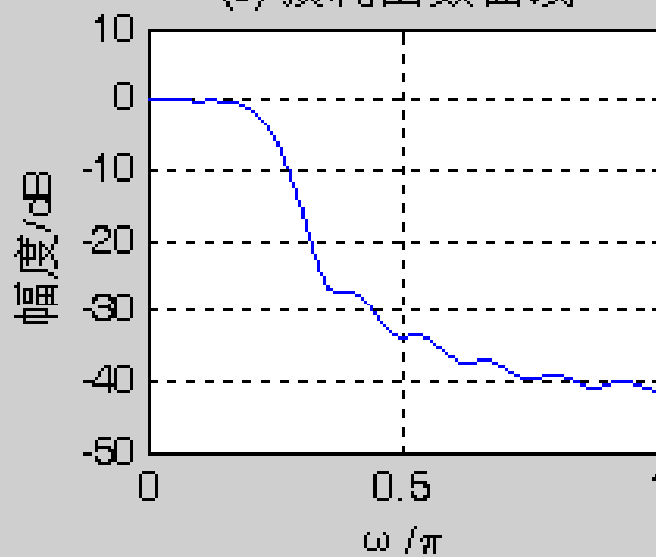
(b) 损耗函数曲线



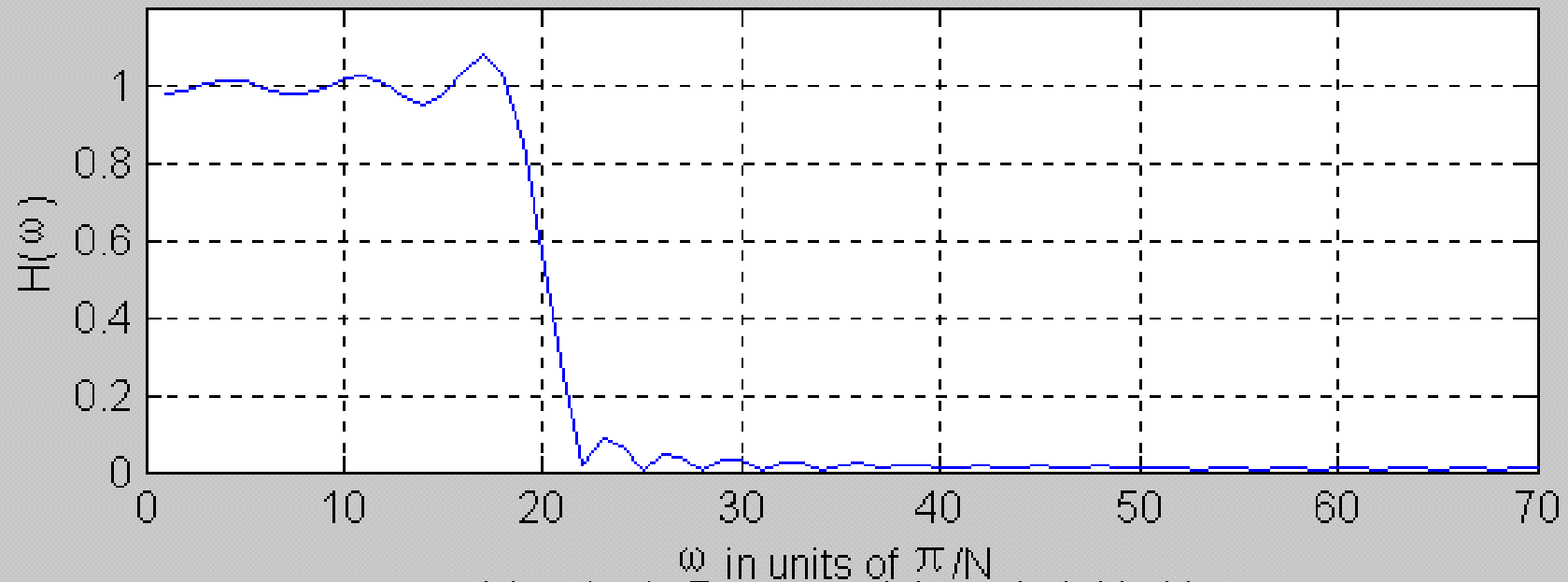
(a)hd(n)w(n)波形



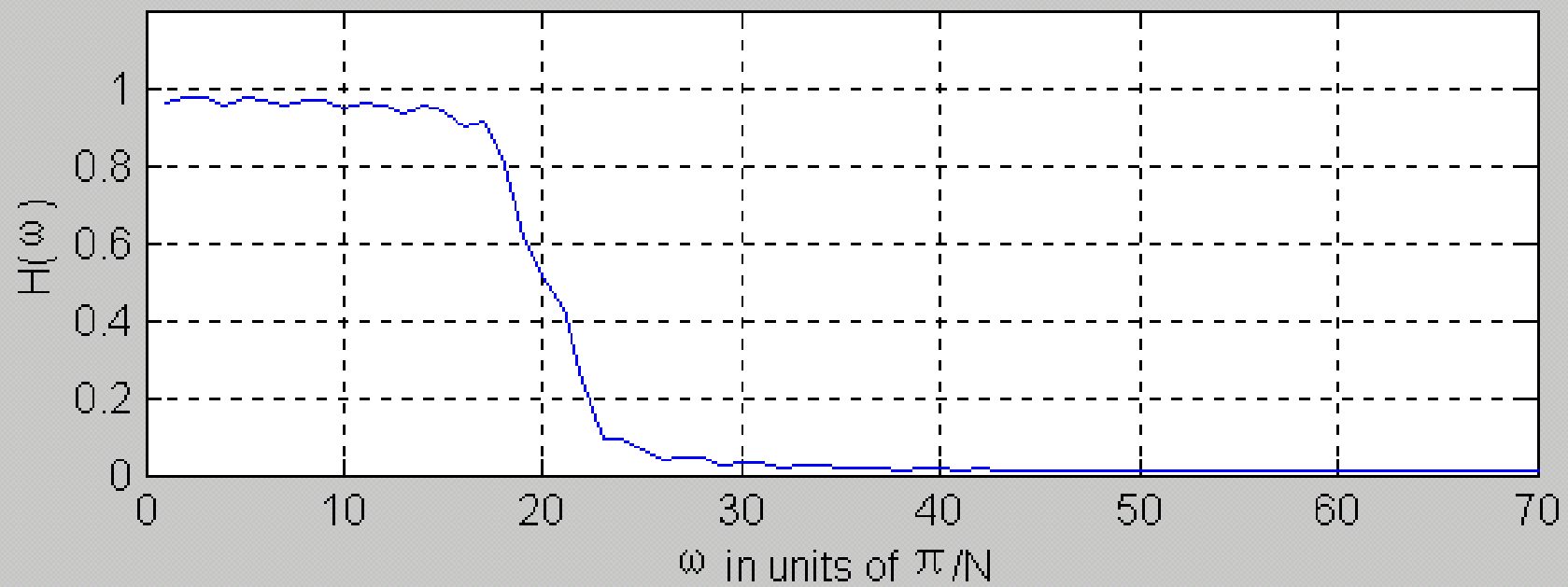
(b) 损耗函数曲线



Magnitude Response(rectangular), $N=41$



Magnitude Response(triangular), $N=41$

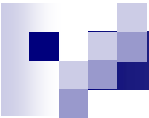


3. 汉宁窗（升余弦窗）（Hanning Window）

$$\begin{aligned}w_{hm}(n) &= \frac{1}{2} \left[1 - \cos \left(\frac{2\pi n}{N-1} \right) \right] R_N(n) \\ &= 0.5 R_N(n) - 0.25 \left(e^{j \frac{2\pi n}{N-1}} + e^{-j \frac{2\pi n}{N-1}} \right) R_N(n)\end{aligned}$$

■ 频率响应

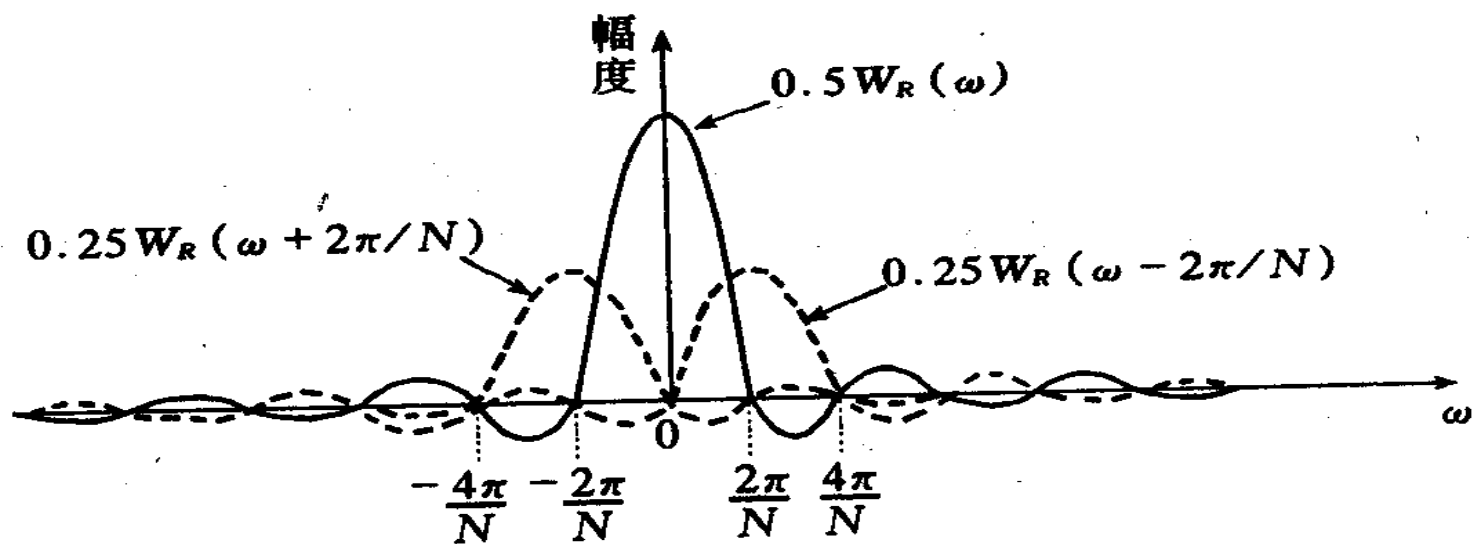
$$\begin{aligned}W_{hm}(e^{j\omega}) &= 0.5 W_{Rg}(\omega) e^{-j \left(\frac{N-1}{2} \right) \omega} - 0.25 \left[W_{Rg} \left(\omega - \frac{2\pi}{N-1} \right) e^{-j \left(\frac{N-1}{2} \right) \left(\omega - \frac{2\pi}{N-1} \right)} \right. \\ &\quad \left. + W_{Rg} \left(\omega + \frac{\pi}{N-1} \right) e^{-j \left(\frac{N-1}{2} \right) \left(\omega + \frac{2\pi}{N-1} \right)} \right] \\ &= \left\{ 0.5 W_{Rg}(\omega) + 0.25 \left[W_{Rg} \left(\omega - \frac{2\pi}{N-1} \right) + W_{Rg} \left(\omega + \frac{2\pi}{N-1} \right) \right] \right\} e^{-j \left(\frac{N-1}{2} \right) \omega}\end{aligned}$$


$$W_{hn}(e^{j\omega}) = \left\{ 0.5W_{Rg}(\omega) + 0.25 \left[W_{Rg}\left(\omega - \frac{2\pi}{N-1}\right) + W_{Rg}\left(\omega + \frac{2\pi}{N-1}\right) \right] \right\} e^{-j\left(\frac{N-1}{2}\right)\omega}$$

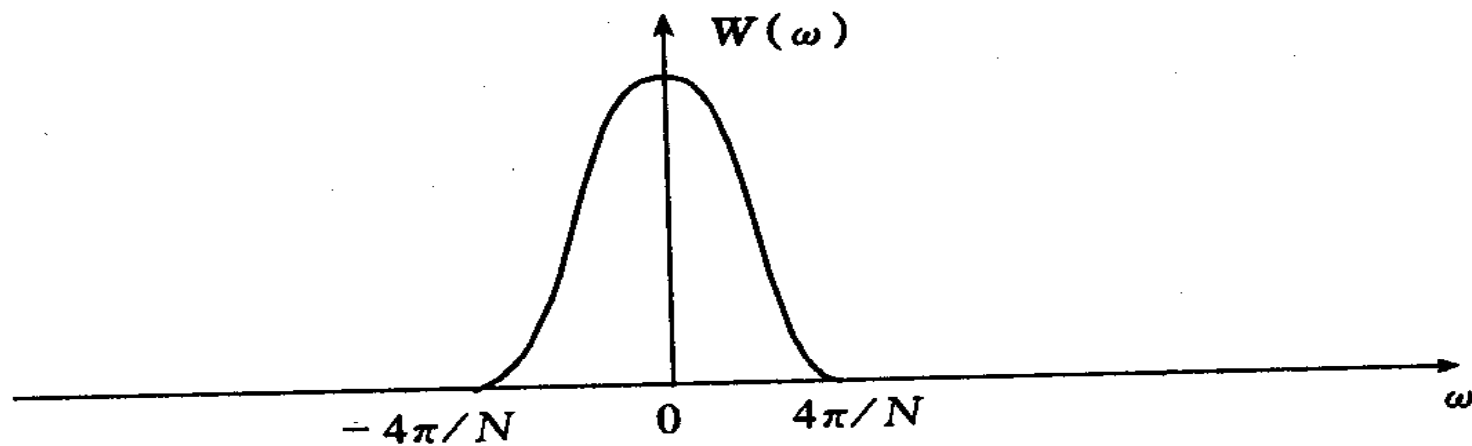
■ 当 $N \gg 1$, 可近似为:

$$W_{hn}(e^{j\omega}) = \left\{ 0.5W_{Rg}(\omega) + 0.25 \left[W_{Rg}\left(\omega - \frac{2\pi}{N}\right) + W_{Rg}\left(\omega + \frac{2\pi}{N}\right) \right] \right\} e^{-j\left(\frac{N-1}{2}\right)\omega}$$

$$W_{hng}(\omega) = 0.5W_{Rg}(\omega) + 0.25 \left[W_{Rg}\left(\omega - \frac{2\pi}{N}\right) + W_{Rg}\left(\omega + \frac{2\pi}{N}\right) \right]$$



(a) 三部分频谱相加



(b) 相加结果

图 4.6 汉宁窗频谱

- 当 $N \gg 1$ 时,

$$W_{hng}(\omega) = 0.5W_{Rg}(\omega) + 0.25 \left[W_{Rg}\left(\omega - \frac{2\pi}{N}\right) + W_{Rg}\left(\omega + \frac{2\pi}{N}\right) \right]$$

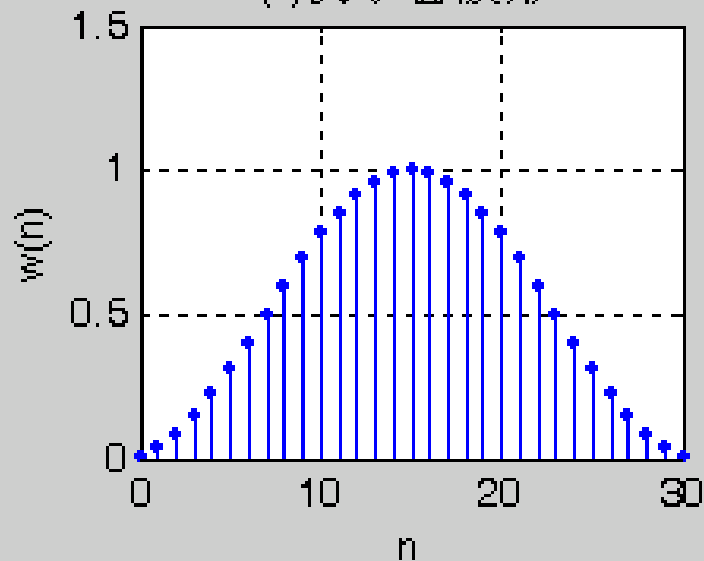
- 三部分矩形窗频谱相加, 使旁瓣互相抵消, 能量集中在主瓣, 旁瓣大大减小, 但主瓣宽度增加1倍, 为 $\frac{8\pi}{N}$

$$\Delta B = 8\pi / N$$

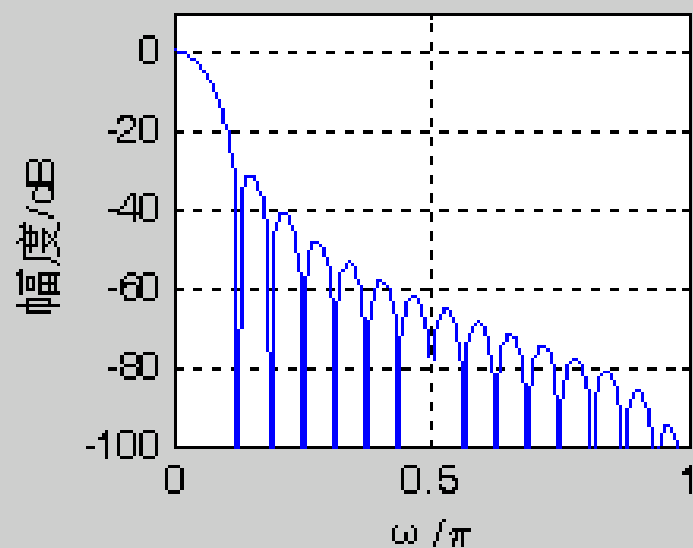
$$\alpha_n = -31dB, \quad \alpha_s = -44dB$$



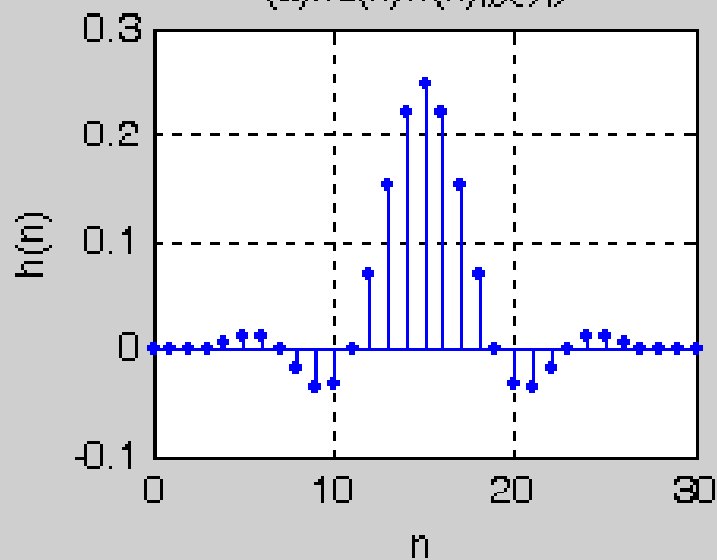
(a) 汉宁窗波形



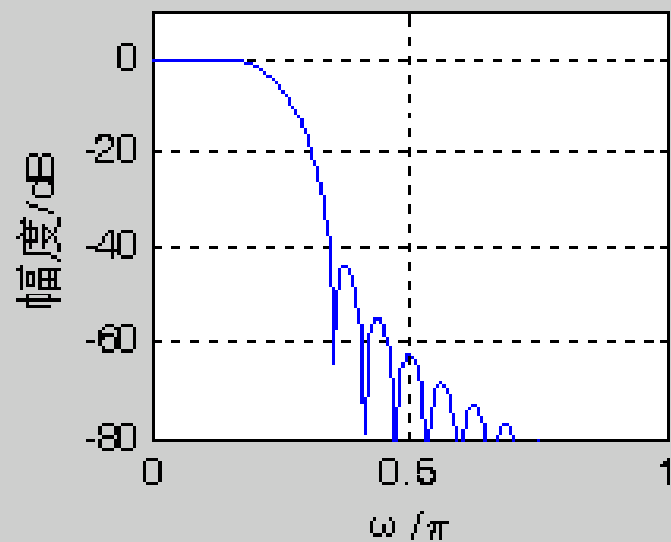
(b) 损耗函数曲线



(a) $hd(n)w(n)$ 波形



(b) 损耗函数曲线



4. 哈明窗（改进升余弦窗）（Hamming Window）

- 窗函数

$$w_{hm}(n) = \left[0.54 - 0.46 \cos\left(\frac{2\pi n}{N-1}\right)\right] R_N(n)$$

- 其频率响应的幅度函数为

$$W_{hm}(e^{j\omega}) = \left\{0.54W_{Rg}(\omega) + 0.23\left[W_{Rg}\left(\omega - \frac{2\pi}{N-1}\right) + W_{Rg}\left(\omega + \frac{2\pi}{N-1}\right)\right]\right\} e^{-j\omega(N-1)/2}$$

- 当 $N \gg 1$ ，可近似为：

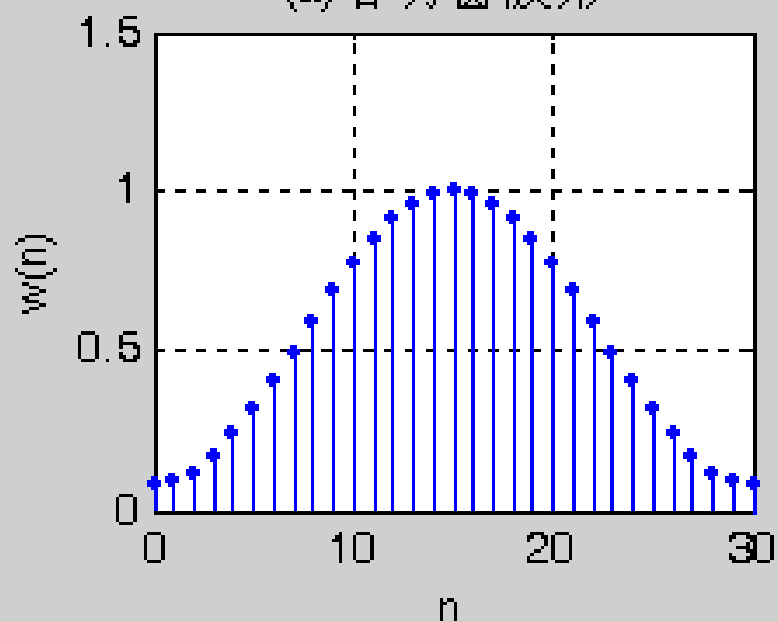
$$W_{hm}(e^{j\omega}) = \left\{ 0.54W_{Rg}(\omega) + 0.23\left[W_{Rg}\left(\omega - \frac{2\pi}{N}\right) + W_{Rg}\left(\omega + \frac{2\pi}{N}\right)\right] \right\} e^{-j\omega(N-1)/2}$$

$$W_{hmg}(\omega) = 0.54W_{Rg}(\omega) + 0.23\left[W_{Rg}\left(\omega - \frac{2\pi}{N}\right) + W_{Rg}\left(\omega + \frac{2\pi}{N}\right)\right]$$

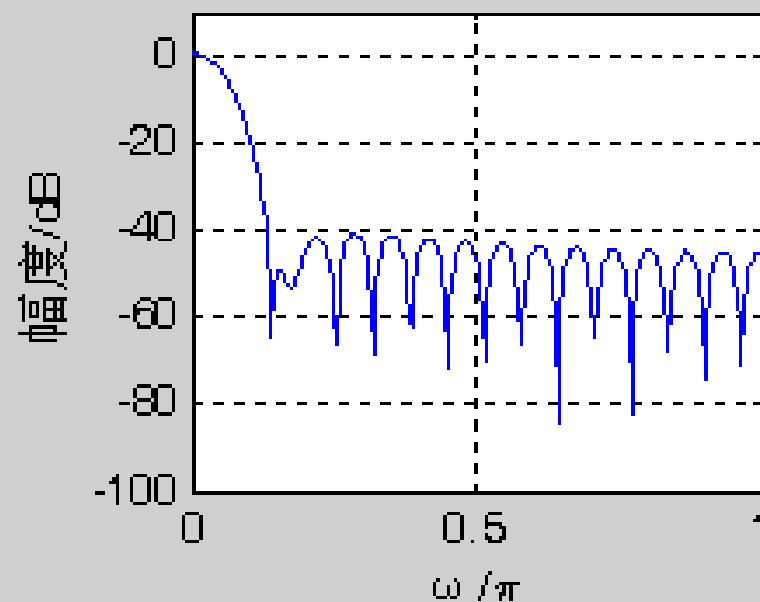
- 是对汉宁窗的改进，在主瓣宽度（对应第一零点的宽度）相同的情况下，旁瓣进一步减小，可使**99.96%**的能量集中在窗谱的主瓣内。

$$\alpha_n = -40dB \quad \Delta B = 8\pi / N \quad \alpha_s = -53dB$$

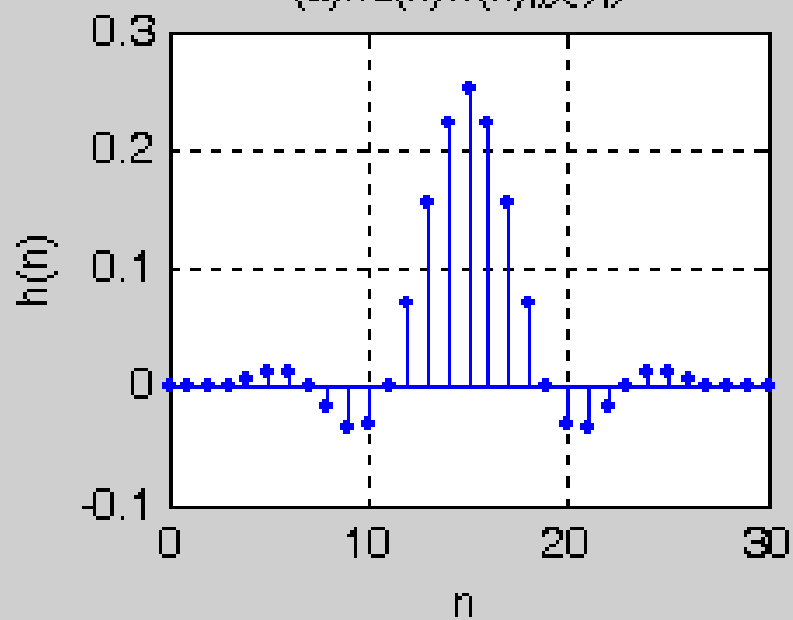
(a) 哈明窗波形



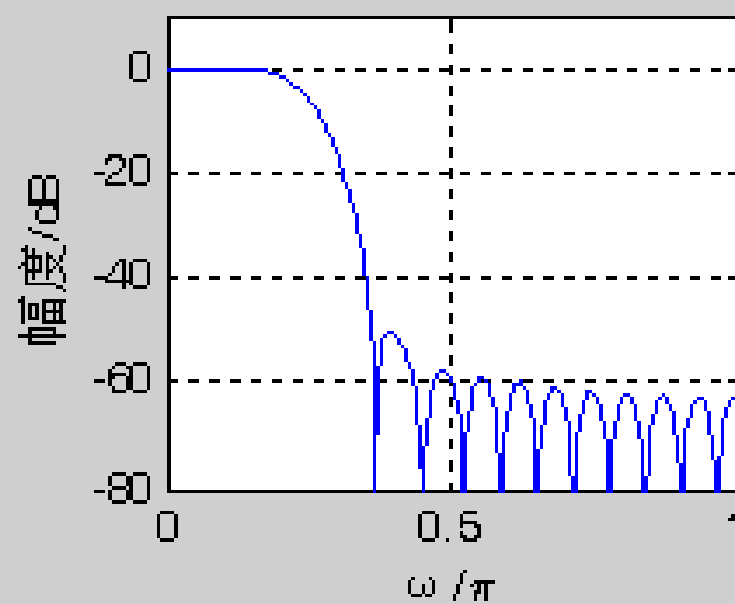
(b) 损耗函数曲线



(a) $hd(n)w(n)$ 波形



(b) 损耗函数曲线



5. 布莱克曼窗 (Blackman Window)

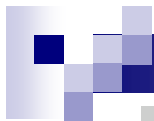
■ 窗函数

$$w_{bl}(n) = \left[0.42 - 0.5 \cos\left(\frac{2\pi n}{N-1}\right) + 0.08 \cos\left(\frac{4\pi n}{N-1}\right) \right] R_N(n)$$

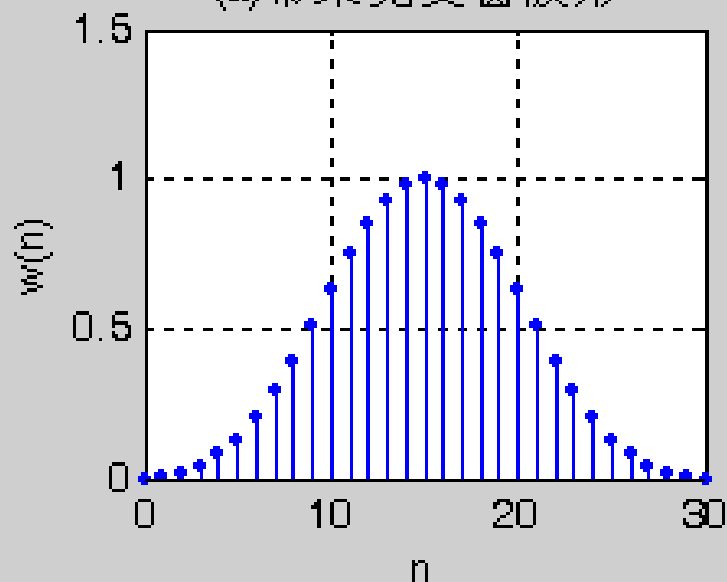
- 增加一个二次谐波余弦分量，可进一步降低旁瓣，但主瓣宽度进一步增加，增加N可减少过渡带

$$W(\omega) = 0.42W_R(\omega) + 0.25 \left[W_R\left(\omega - \frac{2\pi}{N-1}\right) + W_R\left(\omega + \frac{2\pi}{N-1}\right) \right] \\ + 0.04 \left[W_R\left(\omega - \frac{4\pi}{N-1}\right) + W_R\left(\omega + \frac{4\pi}{N-1}\right) \right]$$

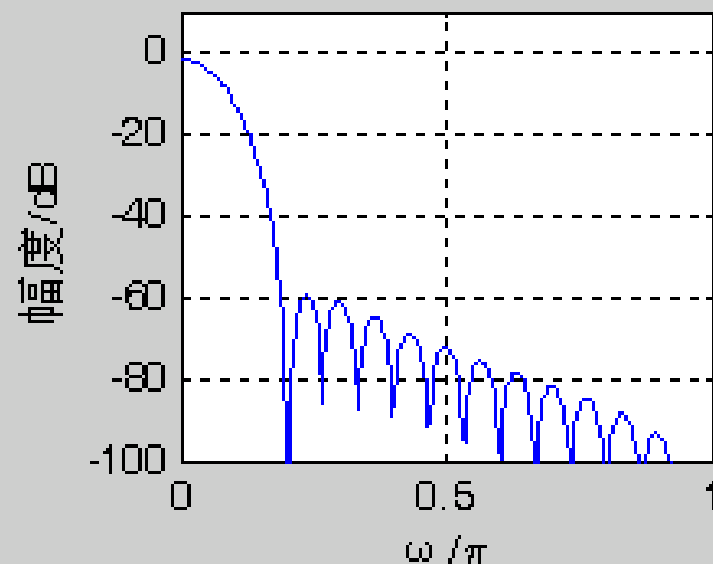
$$\alpha_n = -57dB \quad \Delta B = 12\pi / N \quad \alpha_s = -74dB$$



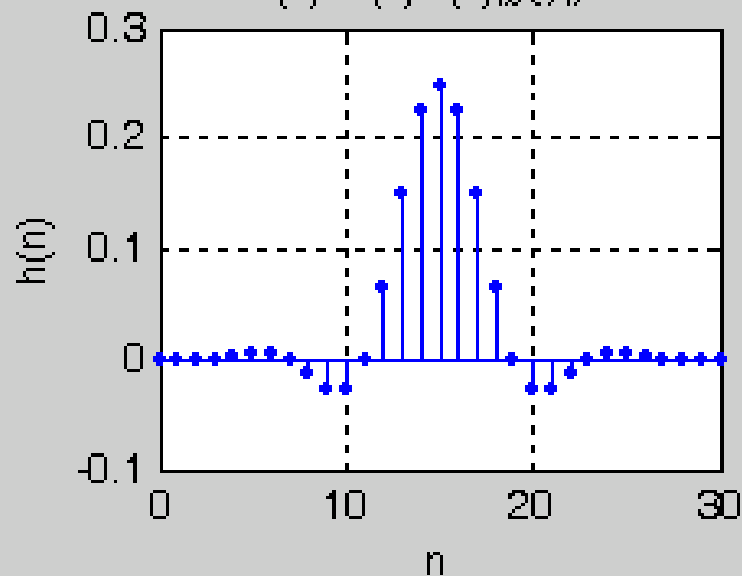
(a) 布莱克曼窗波形



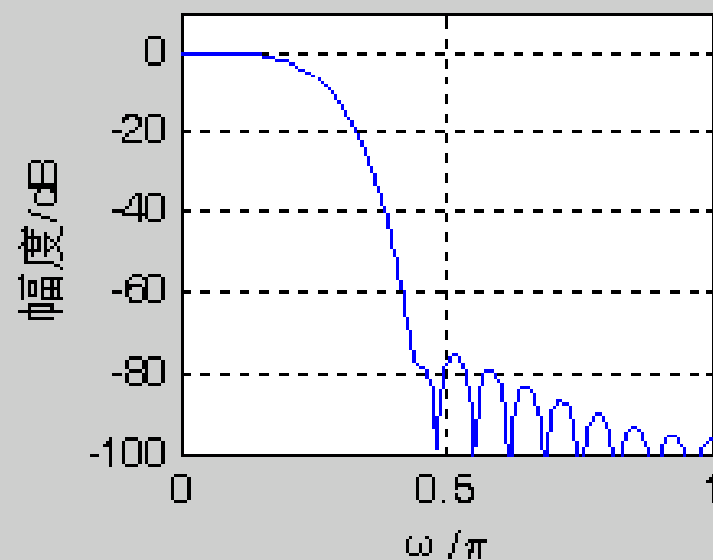
(b) 损耗函数曲线



(a) $hd(n)w(n)$ 波形



(b) 损耗函数曲线



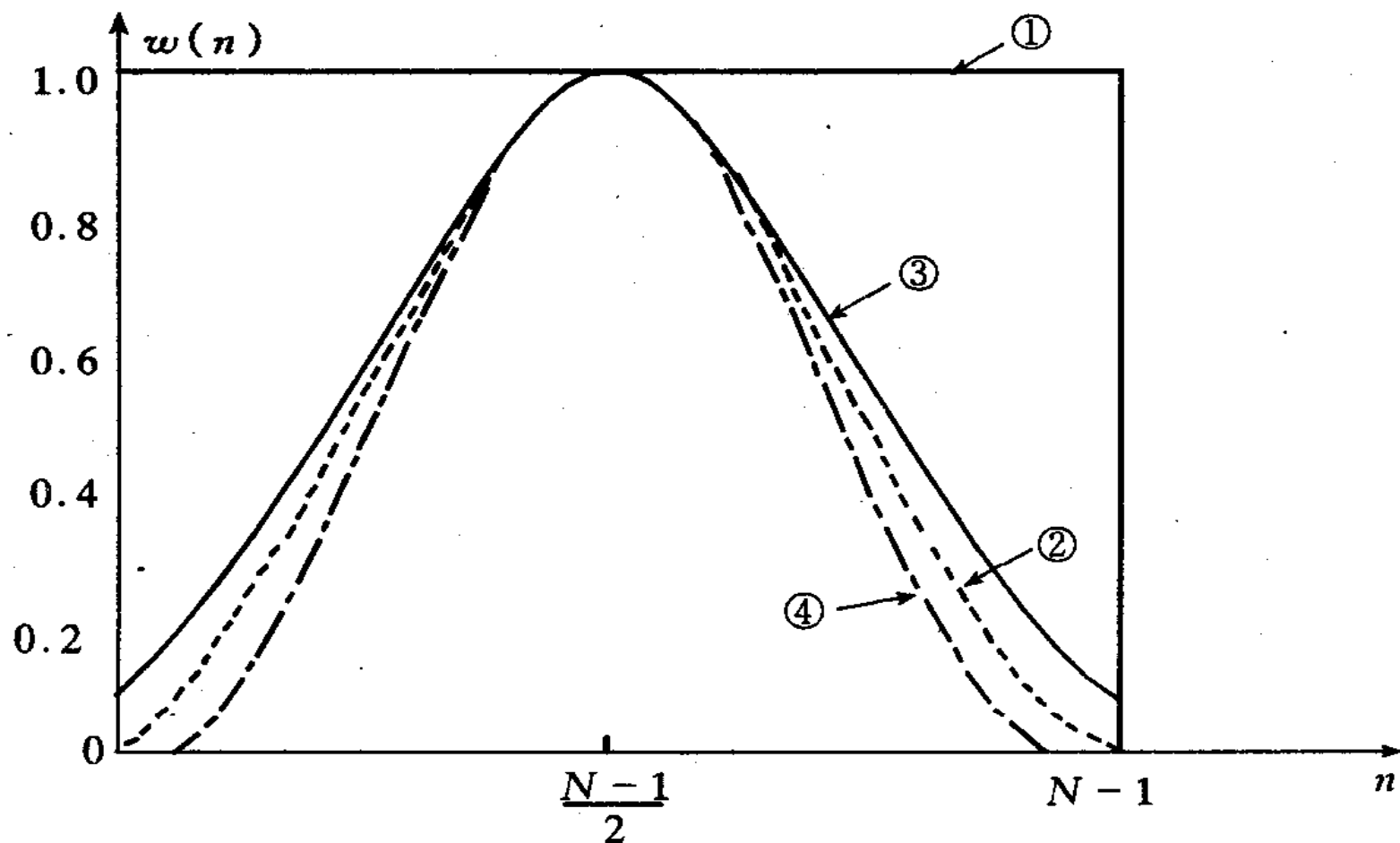
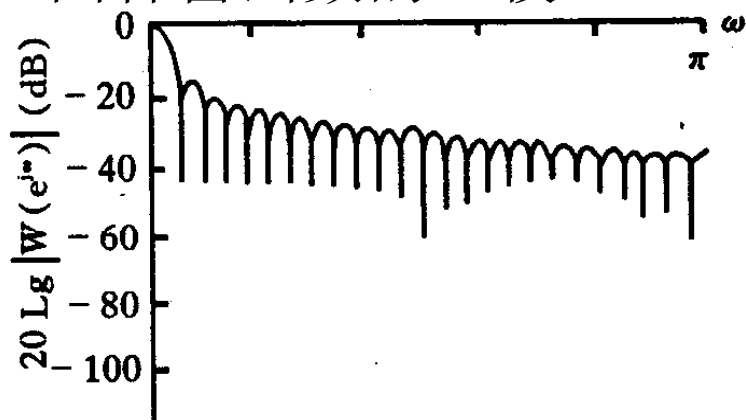


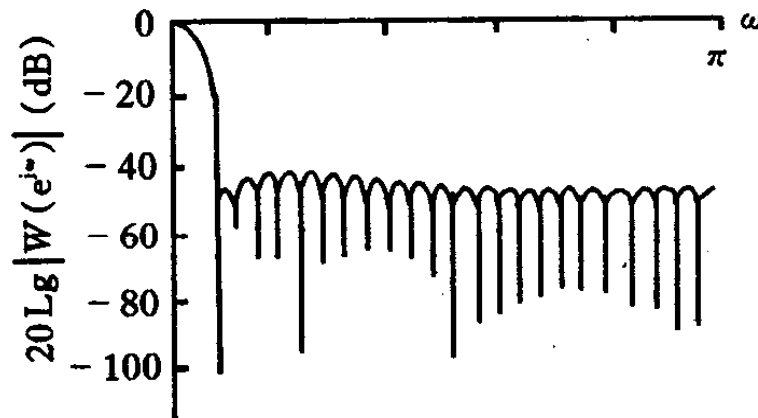
图 4.7 四种常用的窗口函数

(1)矩形窗； (2)汉宁窗； (3)汉明窗； (4)布莱克曼窗

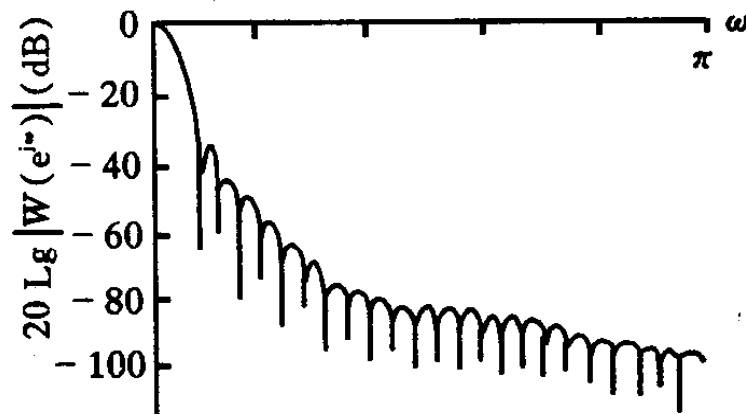
四种窗函数的比较



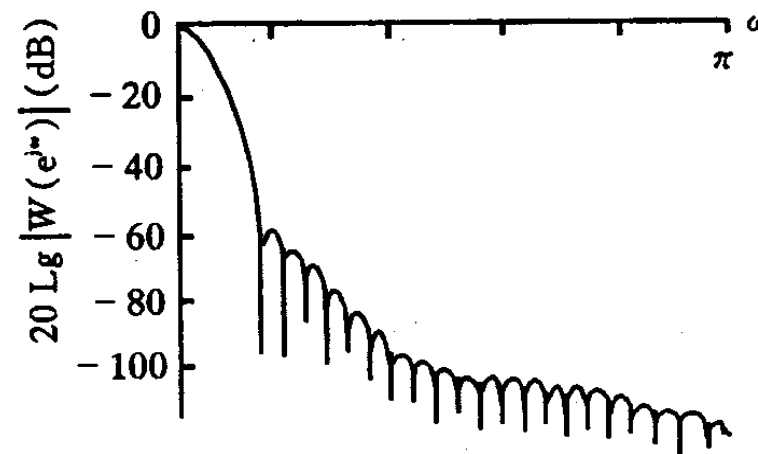
(a) 矩形窗



(c) 汉明窗



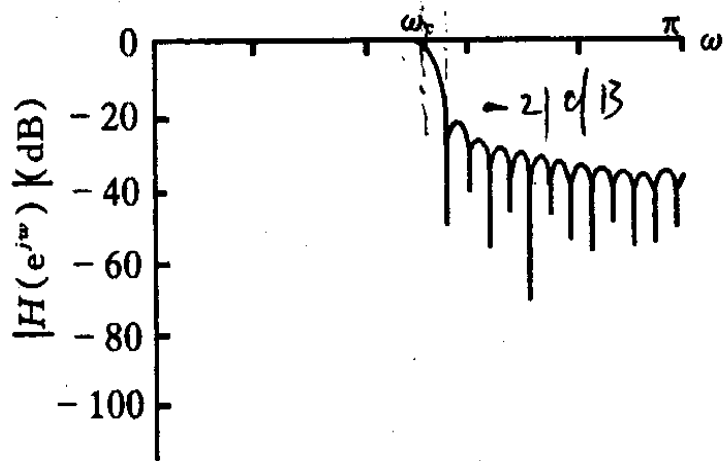
(b) 汉宁窗



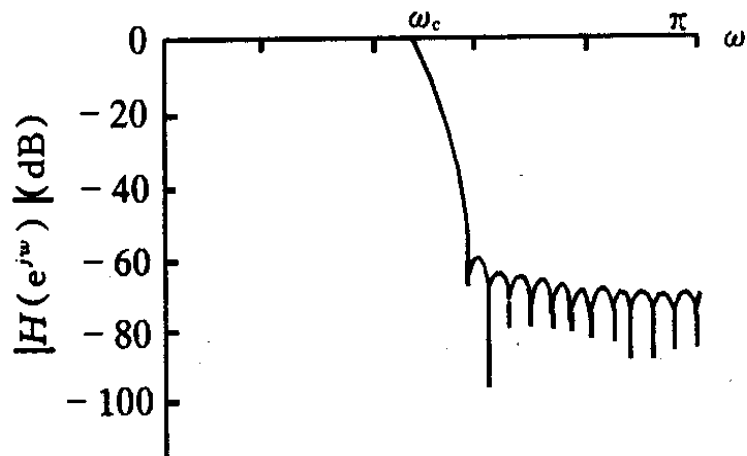
(d) 布莱克曼窗

图 4.8 四种窗函数的频谱 ($N = 51$)

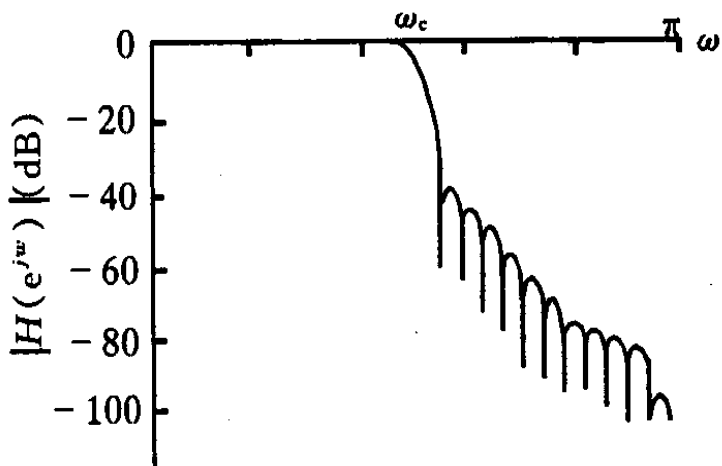
窗口函数的频谱 $N=51, A=20\lg|W(\omega)/W(0)|$



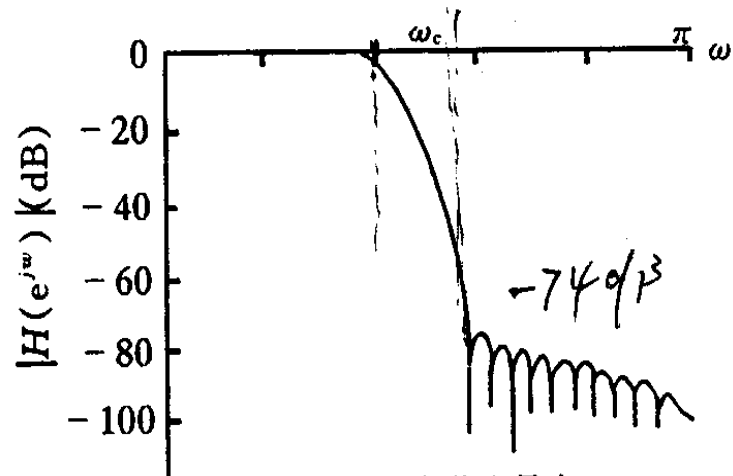
(a) 矩形窗



(c) 汉明窗



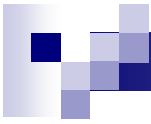
(b) 汉宁窗



(d) 布莱克曼窗

图 4.9 四种窗口在同一指标下设计的滤波器的频率特性

$$N = 51, \quad \omega_c = 0.5\pi$$



窗函数	主瓣宽度 (近似值)	过渡带宽 (精确值)	旁瓣峰值衰减 (dB)	阻带最小衰减 (dB)
矩形	$4\pi / N$	$1.8\pi / N$	-13	-21
三角	$8\pi / N$	$6.1\pi / N$	-25	-25
汉宁	$8\pi / N$	$6.2\pi / N$	-31	-44
汉明	$8\pi / N$	$6.6\pi / N$	-41	-53
布莱克曼	$12\pi / N$	$11\pi / N$	-57	-74

6. 凯塞窗 (Kaiser Window)

- 以上五种窗函数，滤波器的阻带衰减是固定的
- 不同的窗函数通过增加主瓣宽度为代价来降低旁瓣
- 凯塞窗则可自由选择主瓣宽度和旁瓣衰减；对于给定指标，其滤波器阶数最小
- 凯塞窗函数

$$w_k(n) = \frac{I_0 \left(\beta \sqrt{1 - \left[1 - \frac{2n}{N-1} \right]^2} \right)}{I_0(\beta)} R_N(n)$$

■ 凯塞窗函数

$$w_k(n) = \frac{I_o \left(\beta \sqrt{1 - \left[1 - \frac{2n}{N-1} \right]^2} \right)}{I_o(\beta)} R_N(n)$$

■ β 是调整参数，可自由选择

- 决定主瓣宽度与旁瓣衰减。 β 越大， $w_k(n)$ 窗越窄，其频谱的主瓣变宽，旁瓣变小。一般取 $4 < \beta < 9$ 。
- $\beta=5.44$ 接近汉明
- $\beta=8.5$ 接近布莱克曼
- $\beta=0$ 为矩形

- $I_0(x)$ 是零阶第一类修正贝塞尔函数

$$I_0(x) = 1 + \sum_{k=1}^{\infty} \left[\frac{(x/2)^k}{k!} \right]^2$$

- 参数 β 控制滤波器阻带的最小衰减 α_s

$$\beta = \begin{cases} 0.1102(\alpha_s - 8.7) & \alpha_s \geq 50dB \\ 0.5842(\alpha_s - 21)^{0.4} + 0.07886(\alpha_s - 21) & 21dB < \alpha_s < 50dB \\ 0 & \alpha_s \leq 21dB \end{cases}$$

$$N \approx \frac{\alpha_s - 8}{2.285\Delta B} \quad \left| \Delta B = \omega_s - \omega_p \right|$$

- 通带纹波幅度近似等于阻带纹波幅度，未单独控制

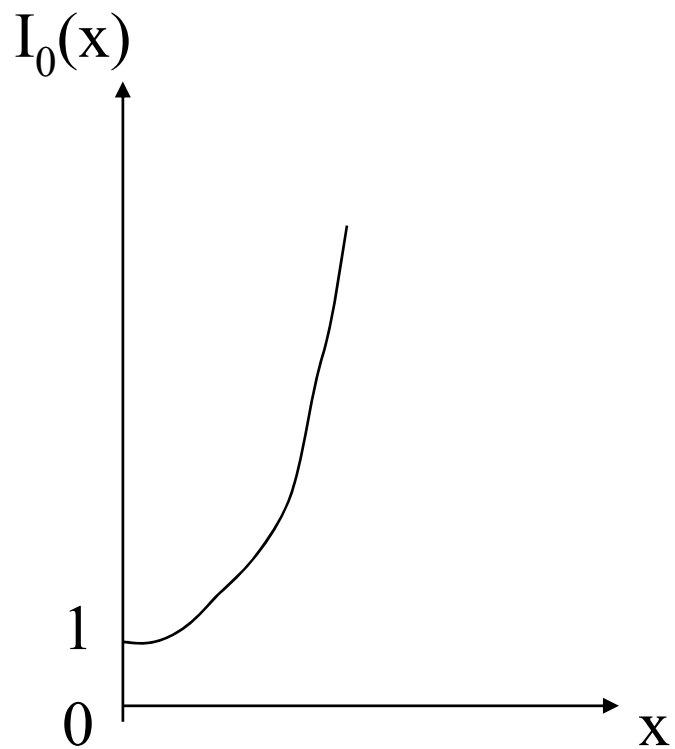


图1 零阶修正贝塞尔函数

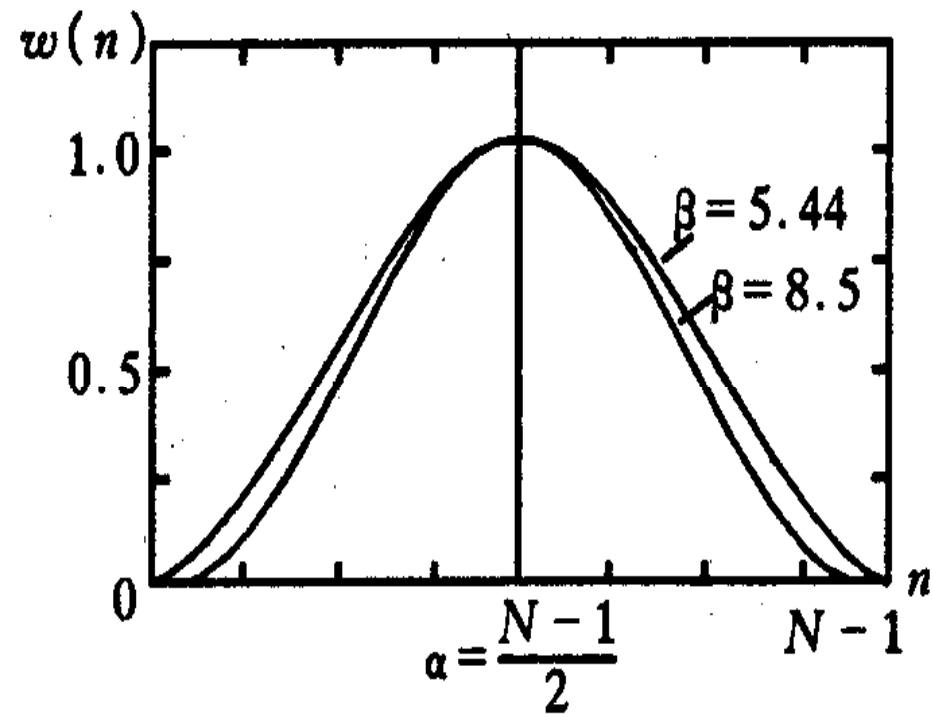
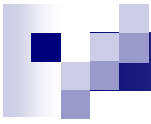
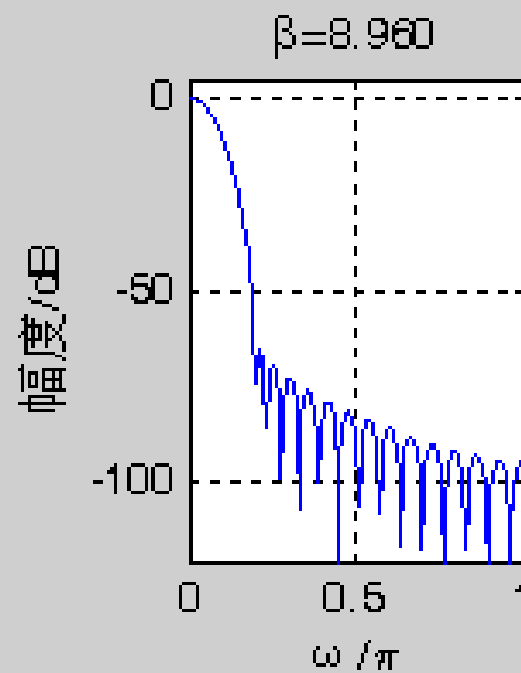
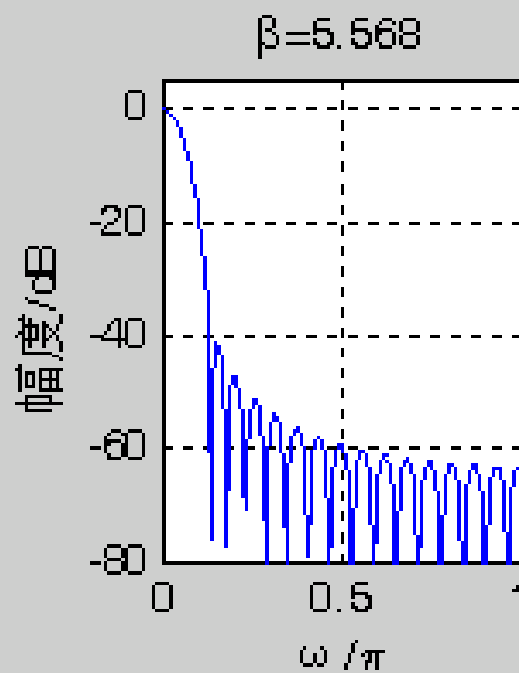
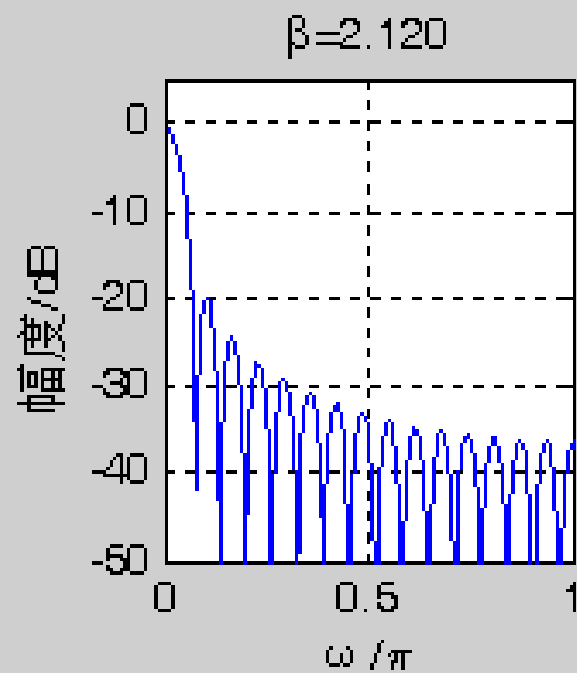
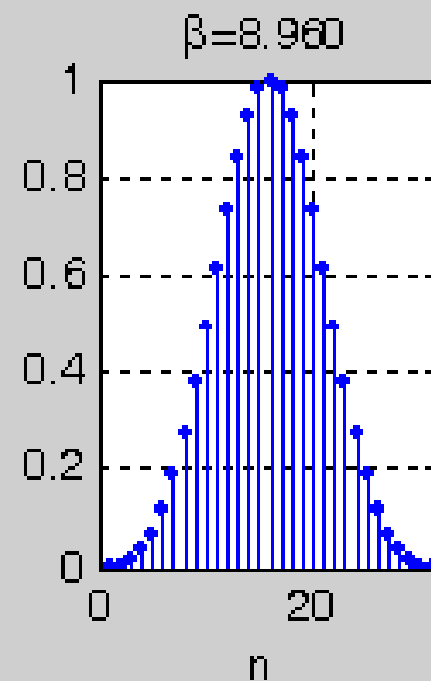
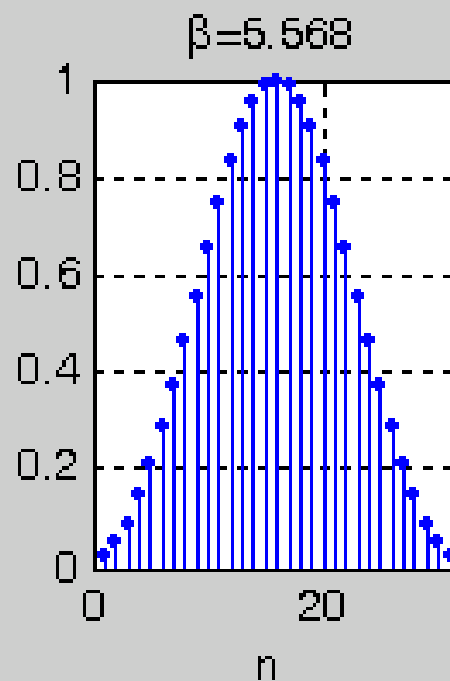
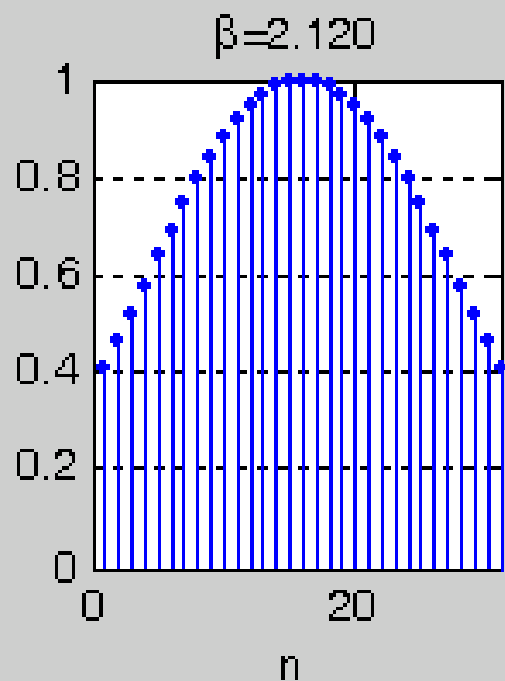


图 4.10 凯塞窗函数

图2 凯塞窗函数



β	过渡带	通带波纹 (dB)	阻带最小衰减(dB)
2.120	$3.00 \pi / N$	± 0.27	-30
3.384	$4.46 \pi / N$	± 0.08647	-40
4.538	$5.86 \pi / N$	± 0.0274	-50
5.658	$7.24 \pi / N$	± 0.00868	-60
6.764	$8.64 \pi / N$	± 0.00275	-70
7.865	$10.0 \pi / N$	± 0.000868	-80
8.960	$11.4 \pi / N$	± 0.000275	-90
10.056	$12.8 \pi / N$	± 0.000087	-100



7.2.4 用窗函数设计FIR滤波器的步骤:

■ 选择窗函数的类型和长度

□ 根据阻带最小衰减 α_s 选择窗函数的类型

- 原则是：在保证阻带衰减满足要求的情况下，尽量选择主瓣窄的窗函数。

□ 根据过渡带的宽度选择窗函数的长度

■ 按性能指标要求，构造希望频率响应函数

$$H_d(e^{j\omega}) = H_{dg}(\omega)e^{-j\omega(N-1)/2}$$

□ ω_c 近似为过渡带中心频率，幅度函数衰减一半 (**-6dB**)

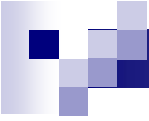
$$\omega_c = (\omega_p + \omega_s) / 2$$

- 确定期望滤波器的单位脉冲响应

$$\begin{aligned}h_d(n) &= IFT[H_d(e^{j\omega})] \\ &= \frac{1}{2\pi} \int_{-\pi}^{\pi} H_d(e^{j\omega}) e^{j\omega n} d\omega\end{aligned}$$

- 加窗得到设计结果

$$h(n) = h_d(n)w(n)$$



例：用窗函数设计第一类线性相位高通**FIRDF**，要求通带边界频率 $\omega_p = \pi/2rad$ ，通带最大衰减 $\alpha_p = 1dB$ ，阻带截止频率 $\omega_s = \pi/4rad$ ，阻带最小衰减 $\alpha_s = 40dB$

解：1) 选择窗函数

因为阻带最小衰减 $\alpha_s = 40dB$ ，可选择汉宁窗、哈明窗。这里选择汉宁窗。

N=?

根据过渡带宽 $\because \Delta B = 6.2\pi / N \leq \omega_p - \omega_s$

$$\therefore N = 6.2\pi / \Delta B \geq \frac{6.2\pi}{\omega_p - \omega_s} = \frac{6.2\pi}{\pi/4} = 24.8$$

■ 高通, N 为奇数, $N=25$

$$\begin{aligned}w_{hn}(n) &= \frac{1}{2} \left[1 - \cos \left(\frac{2\pi n}{N-1} \right) \right] R_N(n) \\ &= \frac{1}{2} \left[1 - \cos \left(\frac{\pi n}{12} \right) \right] R_{25}(n)\end{aligned}$$

2) 期望理想滤波器的频率响应

$$H_d(e^{j\omega}) = \begin{cases} e^{-j\omega\tau}, & \omega_c < |\omega| \leq \pi \\ 0, & |\omega| \leq \omega_c \end{cases}$$

$$\tau = (N-1)/2 = 12, \quad \omega_c = (\omega_p + \omega_s)/2 = 3\pi/8$$

3) 确定期望滤波器的单位脉冲响应

$$h_d(n) = IFT[H_d(e^{j\omega})] = \frac{1}{2\pi} \int_{-\pi}^{\pi} H_d(e^{j\omega}) e^{j\omega n} d\omega$$

$$= \frac{1}{2\pi} \left(\int_{-\pi}^{-\omega_c} e^{-j\omega\tau} e^{j\omega n} d\omega + \int_{\omega_c}^{\pi} e^{-j\omega\tau} e^{j\omega n} d\omega \right)$$

$$= \frac{\sin \pi(n-\tau)}{\pi(n-\tau)} - \frac{\sin \omega_c(n-\tau)}{\pi(n-\tau)}$$

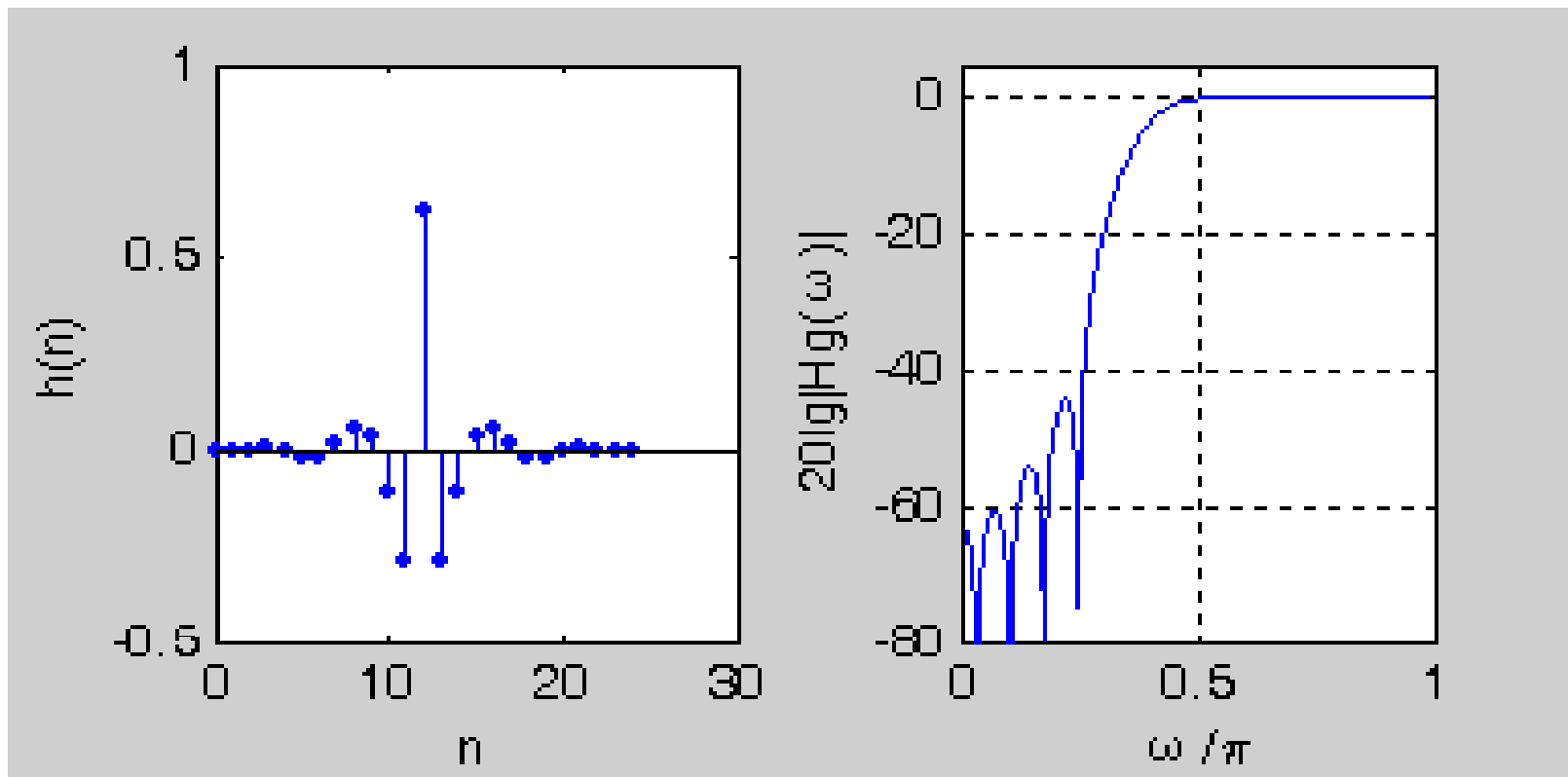
$$= \delta(n-12) - \frac{\sin [3\pi(n-12)/8]}{\pi(n-12)}$$

全通滤波器

低通滤波器

4) 加窗

$$h(n) = h_d(n)w(n)$$
$$= \left\{ \delta(n-12) - \frac{\sin[3\pi(n-12)/8]}{\pi(n-12)} \right\} [0.5 - 0.5 \cos\left(\frac{\pi n}{12}\right)] R_{25}(n)$$





例7.2.2, 7.2.3



例：用凯塞窗设计一 FIR 低通滤波器，低通边界频率 $\omega_p = 0.3\pi$ ，阻带边界频率 $\omega_s = 0.5\pi$ ，阻带衰减 α_s 不小于 50dB。

解：1) 选择窗函数

$$\omega_c = \frac{\omega_p + \omega_s}{2} = \frac{0.3\pi + 0.5\pi}{2} = 0.4\pi$$

$$\beta = 0.112(\alpha_s - 8.7) = 0.112(50 - 8.7) = 4.55$$

$$\Delta B = \omega_s - \omega_p = 0.2\pi$$

$$N = \frac{\alpha_s - 8}{2.285 \times \Delta B} = \frac{50 - 8}{2.285 \times 0.2\pi} \approx 30$$

2) 理想低通函数

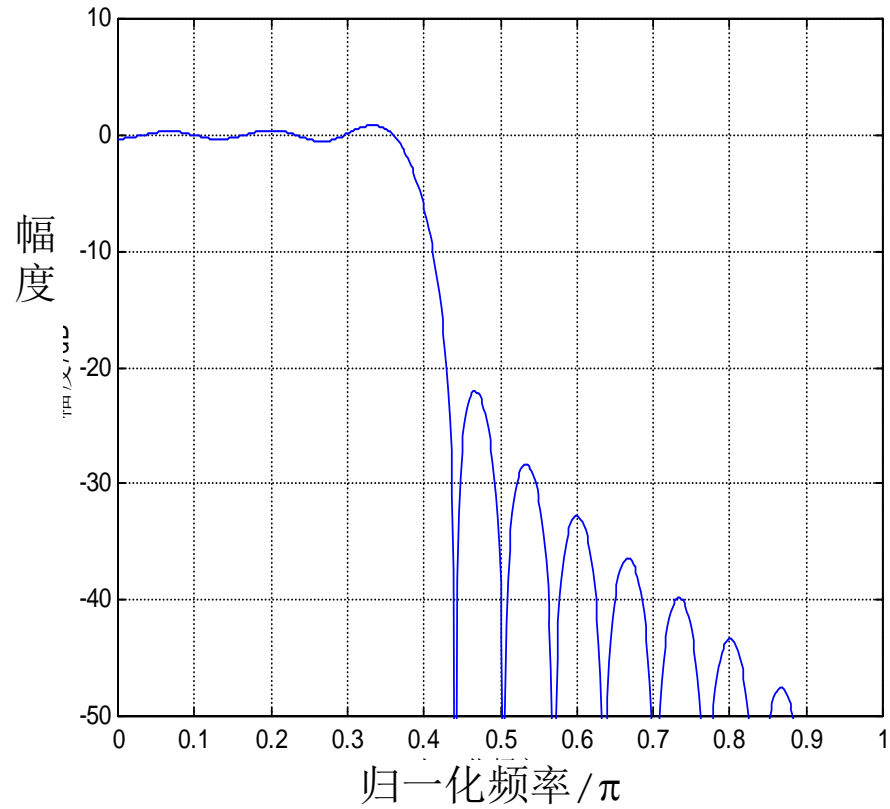
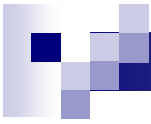
$$H_d(e^{j\omega}) = \begin{cases} e^{-j\omega\tau}, & |\omega| \leq \omega_c \\ 0, & \omega_c < |\omega| \leq \pi \end{cases}$$

3) 理想脉冲响应序列

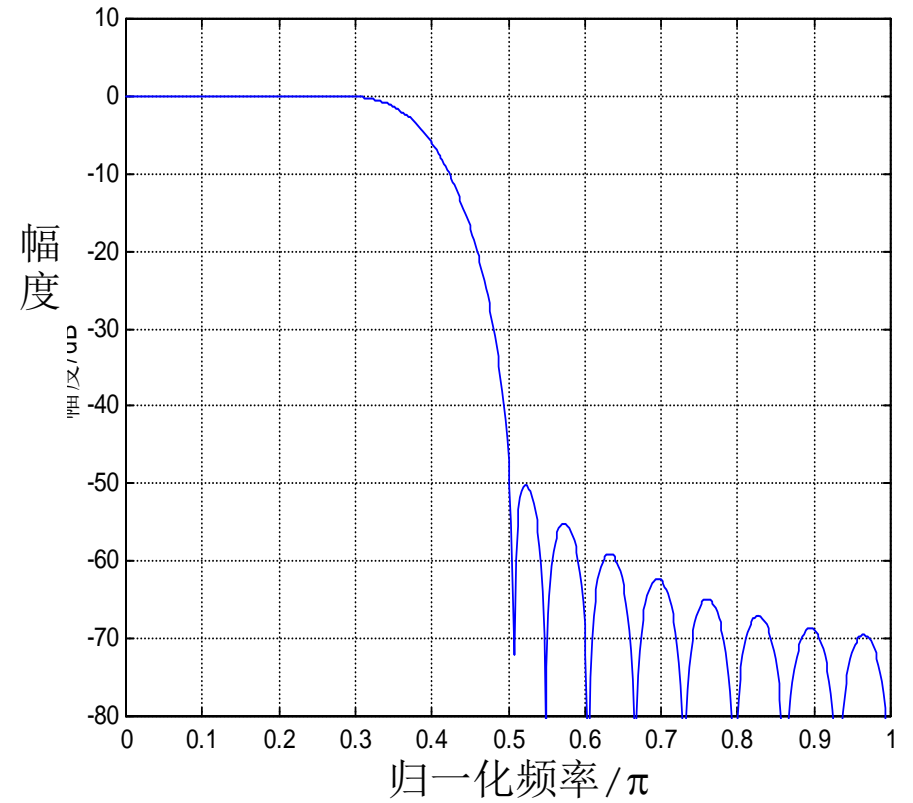
$$\begin{aligned} h_d(n) &= \frac{1}{2\pi} \int_{-\omega_c}^{\omega_c} e^{-j\omega\tau} e^{j\omega n} d\omega \\ &= \begin{cases} \frac{\sin[\omega_c(n-\tau)]}{\pi(n-\tau)}, & n \neq \tau \\ \omega_c / \pi & n = \tau \end{cases} \end{aligned}$$

4) 加窗，得设计滤波器

$$h(n) = h_d(n)w(n)$$



(a)



(b)

凯塞窗设计举例



```
wn=kaiser(30,4.55);
nn=[0:1:29];
alfa=(30-1)/2;
hd=sin(0.4*pi*(nn-alfa))./(pi*(nn-alfa));
h=hd.*wn';
[h1,w1]=freqz(h,1);
plot(w1/pi,20*log10(abs(h1)));
axis([0,1,-80,10]);
grid;
xlabel('归一化频率/ $\pi$ ');
ylabel('幅度/dB');
```

7.3 利用频率采样法设计FIRDF

- 对理想滤波器频响函数 $H_d(e^{j\omega})$ 在 $[0, 2\pi]$ 上等间隔采样 N 点，得到频域采样值序列：

$$H(k) = H_d(e^{j\omega}) \Big|_{\omega = \frac{2\pi}{N}k} \quad k = 0, 1, \dots, N-1$$

- 单位脉冲响应

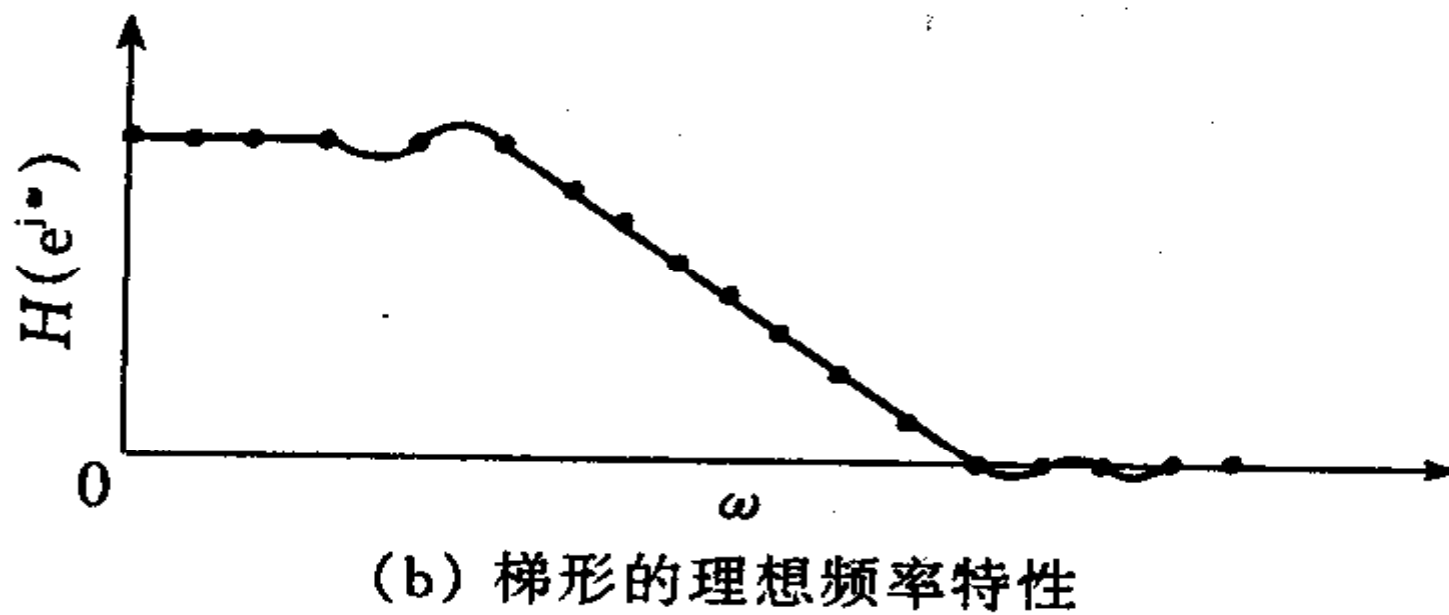
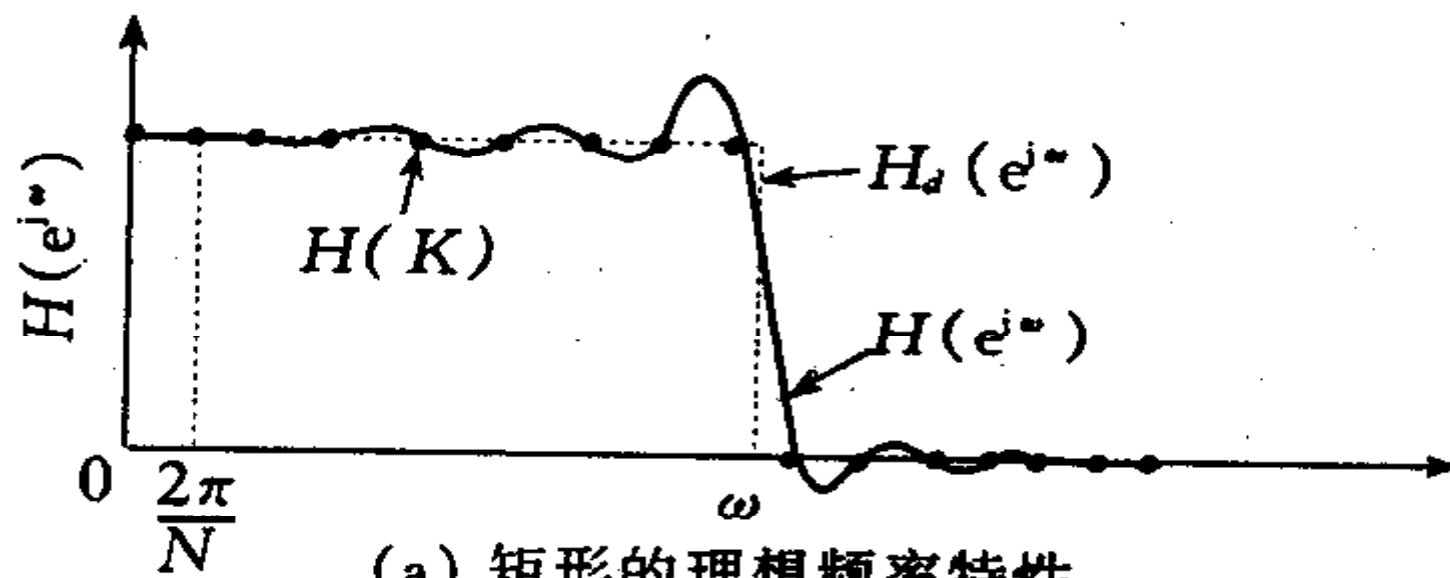
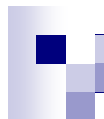
$$h(n) = IDFT[H(k)] = \frac{1}{N} \sum_{k=0}^{N-1} H(k) e^{j\frac{2\pi}{N}kn},$$

- 其系统函数为：

$$H(z) = \sum_{n=0}^{N-1} h(n) z^{-n}$$

- 由内插公式，可从频率采样值直接实现**FIR**滤波器的系统函数

$$\begin{aligned} H(z) &= \frac{1 - z^{-N}}{N} \sum_{k=0}^{N-1} \frac{H(k)}{1 - W_N^{-k} z^{-1}} \\ &= \frac{1 - z^{-N}}{N} \sum_{k=0}^{N-1} \frac{H(k)}{1 - e^{j\frac{2\pi}{N}k} z^{-1}} \end{aligned}$$



- 
- 用频率采样法设计**FIR**数字滤波器主要关心两个问题：
 - 实现线性相位 $H(k)$ 应满足的条件？
 - 逼近误差有多大？与什么因素有关？改进措施？

7.3.2 线性相位的约束条件 $H(k)=?$

- 如果**FIR**数字滤波器为线性相位的，则必满足第一或第二类线性相位的条件

$$h(n) = \pm h(N - n - 1)$$

- 频域采样

$$H(k) = H_d(e^{j\omega}) \Big|_{\omega=\frac{2\pi}{N}k} = H_{dg}(\omega) e^{j\theta(\omega)} \Big|_{\omega=\frac{2\pi}{N}k} = A(k) e^{j\theta(k)}$$

- $A(k)$ ， $\theta(k)$ 分别为幅度采样、相位采样

$$A(k) = H_{dg}(\omega) \Big|_{\omega=\frac{2\pi}{N}k} = H_{dg}\left(\frac{2\pi}{N}k\right) \quad k = 0, 1, \dots, N-1$$
$$\theta(k) = \theta(\omega) \Big|_{\omega=\frac{2\pi}{N}k}$$

1) 第一类线性相位

$$\theta(k) = -\omega \frac{N-1}{2} \Big|_{\omega=\frac{2\pi}{N}k} = -\frac{N-1}{N} \pi k$$

□ **N**为奇数 $H_g(\omega) = H_g(2\pi - \omega)$

$$A(k) = A(N - k) \quad k = 0, 1, \dots, N - 1$$

□ **N**为偶数 $H_g(\omega) = -H_g(2\pi - \omega)$

$$A(k) = -A(N - k) \quad k = 0, 1, \dots, N - 1$$

2) 第二类线性相位

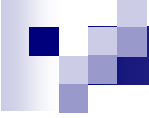
$$\theta(k) = -\frac{\pi}{2} - \omega \frac{N-1}{2} \Big|_{\omega = \frac{2\pi}{N}k} = -\frac{\pi}{2} - \frac{N-1}{N} \pi k$$

□ **N**为奇数 $H_g(\omega) = -H_g(2\pi - \omega)$

$$A(k) = -A(N-k) \quad k = 0, 1, \dots, N-1$$

□ **N**为偶数 $H_g(\omega) = H_g(2\pi - \omega)$

$$A(k) = A(N-k) \quad k = 0, 1, \dots, N-1$$



对理想低通滤波器，截止频率为 $\omega_c = \frac{2\pi}{N}k_c$ ，采样
点数**N**，则有：

N 为奇数时（第一类线性相位）

$$A(k) = A(N - k) = 1, k = 0, 1, \dots, k_c$$

$$A(k) = 0, k = k_c + 1, k_c + 2, \dots, N - k_c - 1$$

$$\theta(k) = -\frac{N-1}{N}\pi k, k = 0, 1, \dots, N-1$$



N 为偶数时（第一类线性相位）

$$A(k) = 1, k = 0, 1, \dots, k_c$$

$$A(k) = 0, k = k_c + 1, k_c + 2, \dots, N - k_c - 1$$

$$A(N - k) = -1, k = 0, 1, \dots, k_c$$

$$\theta(k) = -\frac{N-1}{N} \pi k, k = 0, 1, \dots, N-1$$

另外，对于高通和带阻， N 只能为奇数

7.3.3 逼近误差及其改进措施

例7.3.1: 用频率采样法设计第一类线性相位低通**FIRDF**，要求截止频率 $\omega_c = \frac{\pi}{3}$ ，频率采样点数分别取**N=15**和**N=75**，绘制**h(n)**及其频率响应，误差如何？

解：1) 理想低通滤波器

$$H_d(e^{j\omega}) = \begin{cases} e^{-j\omega\tau}, & |\omega| \leq \omega_c \\ 0, & \omega_c < |\omega| \leq \pi \end{cases}$$

$$\tau = (N - 1) / 2$$

$$H_d(e^{j\omega}) = H_{dg}(\omega)e^{-j\omega(N-1)/2}$$

$$k_c = ?$$

$$\omega_c = \frac{2\pi}{N} k_c \Rightarrow k_c = \frac{N\omega_c}{2\pi} = \frac{15 \times \frac{\pi}{3}}{2\pi} = 2.5$$

■ 频域采样, **N=15**

$$A(k) = \begin{cases} 1, & k = 0, 1, 2, 13, 14 \\ 0, & k = 3, 4, \dots, 12 \end{cases} \quad A(k) = A(N - k)$$

$$\theta(k) = -\omega \frac{N-1}{2} \Big|_{\omega = \frac{2\pi}{N} k} = -\frac{14}{15} \pi k \quad k = 0, 1, \dots, N-1$$

$$H(k) = A(k)e^{j\theta(k)} = \begin{cases} e^{-j14\pi k/15}, & k = 0, 1, 2, 13, 14 \\ 0, & k = 3, 4, \dots, 12 \end{cases}$$

■ **H(k)的单位脉冲响应**

$$h(n) = IDFT [H(k)] = \frac{1}{N} \sum_{k=0}^{14} H(k) e^{j\frac{2\pi}{N}kn}, \quad n = 0, 1, \dots, 14$$

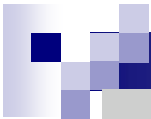
■ **频率响应函数**

$$H(e^{j\omega}) = FT[h(n)]$$

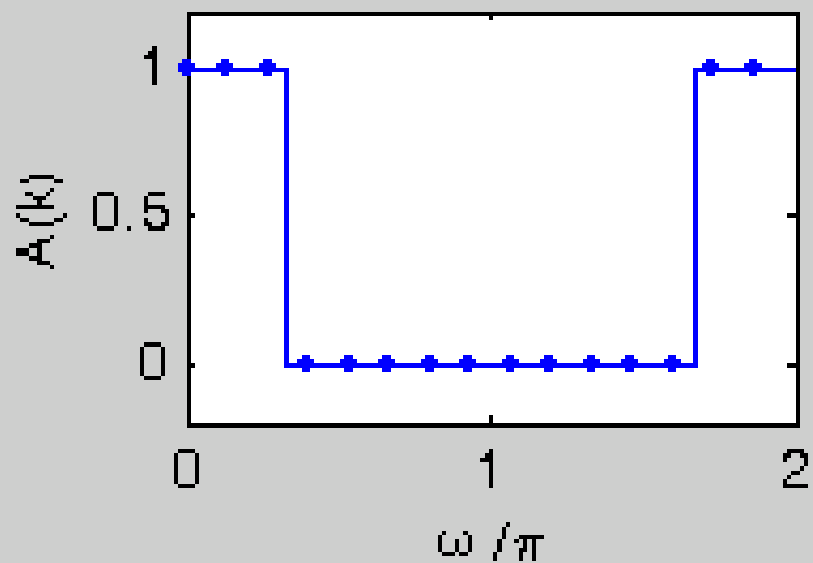
$$= \sum_{k=0}^{N-1} H(k) \varphi(\omega - \frac{2\pi}{N}k) = H_g(\omega) e^{-j\omega \frac{N-1}{2}}$$

$$\varphi(\omega) = \frac{1}{N} \frac{\sin(\omega N / 2)}{\sin(\omega / 2)} e^{-j\omega \frac{N-1}{2}}$$

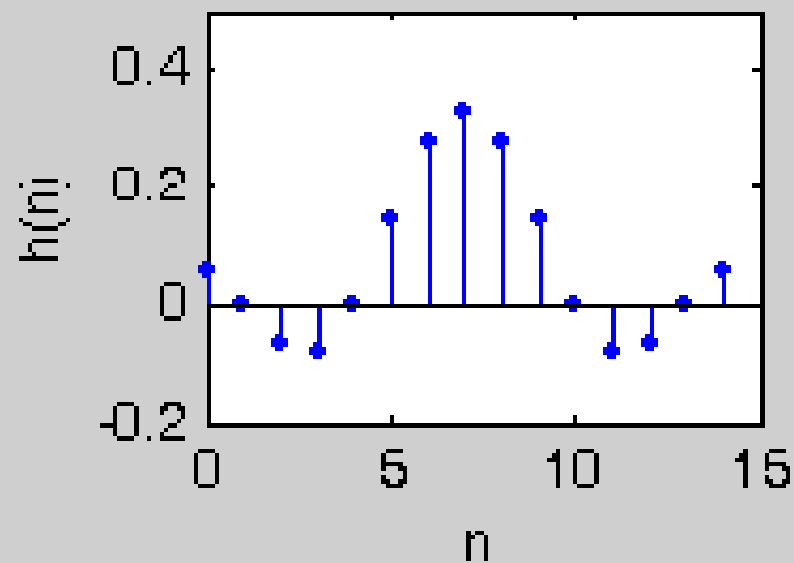
$$\varphi_k(\omega) = \varphi(\omega - \frac{2\pi}{N}k) = \begin{cases} 1, & \omega = \frac{2\pi}{N}k \\ 0, & \omega = \frac{2\pi}{N}i, i \neq k \end{cases}$$



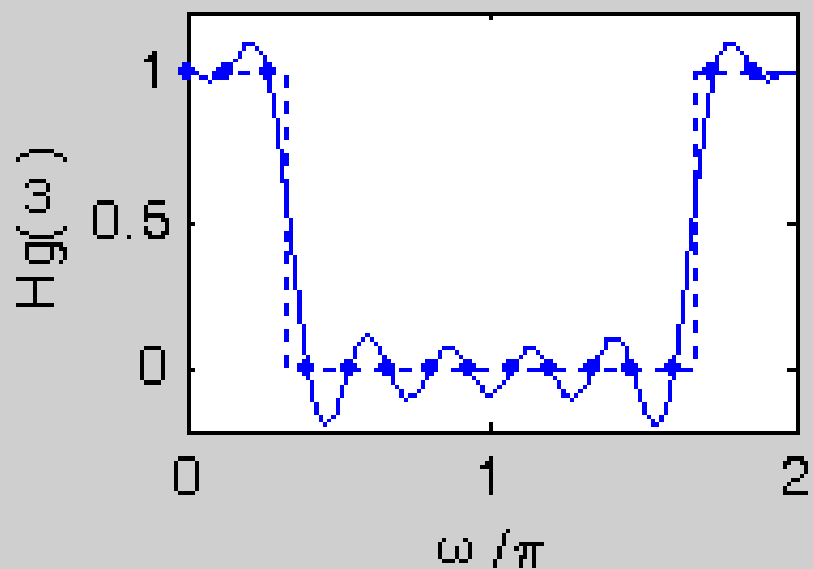
(a)



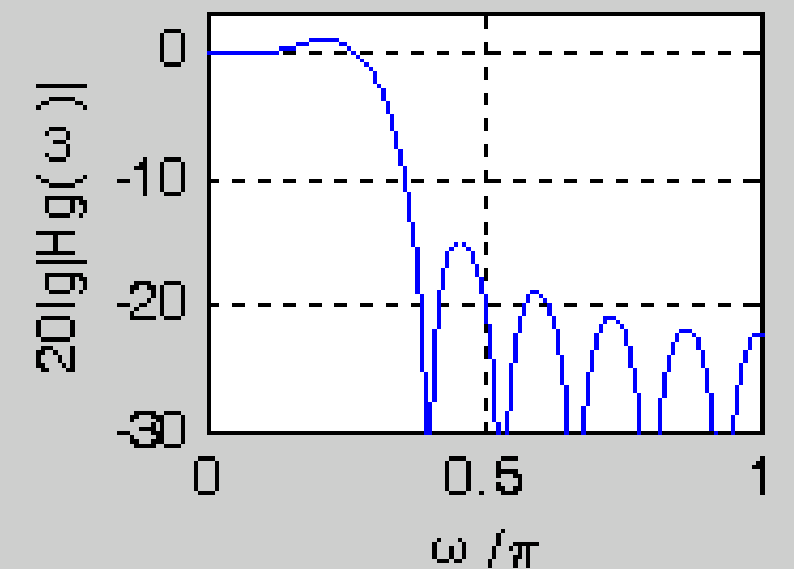
(b)



(c)

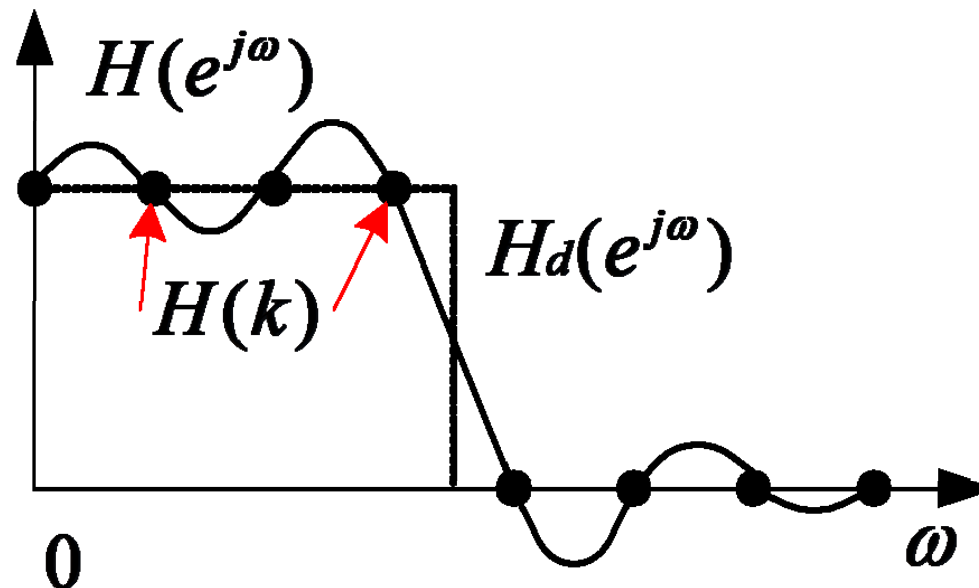


(d)

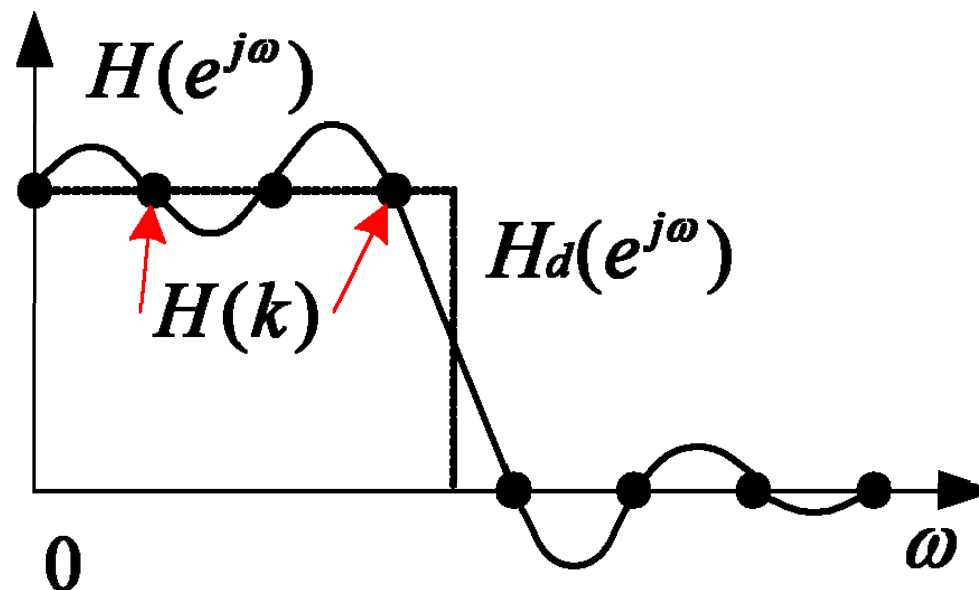


- 逼近误差?
- 在每个频率采样点上，滤波器的频响严格地与理想滤波器的频响采样值 $H(k)$ 相等，即逼近误差为零。

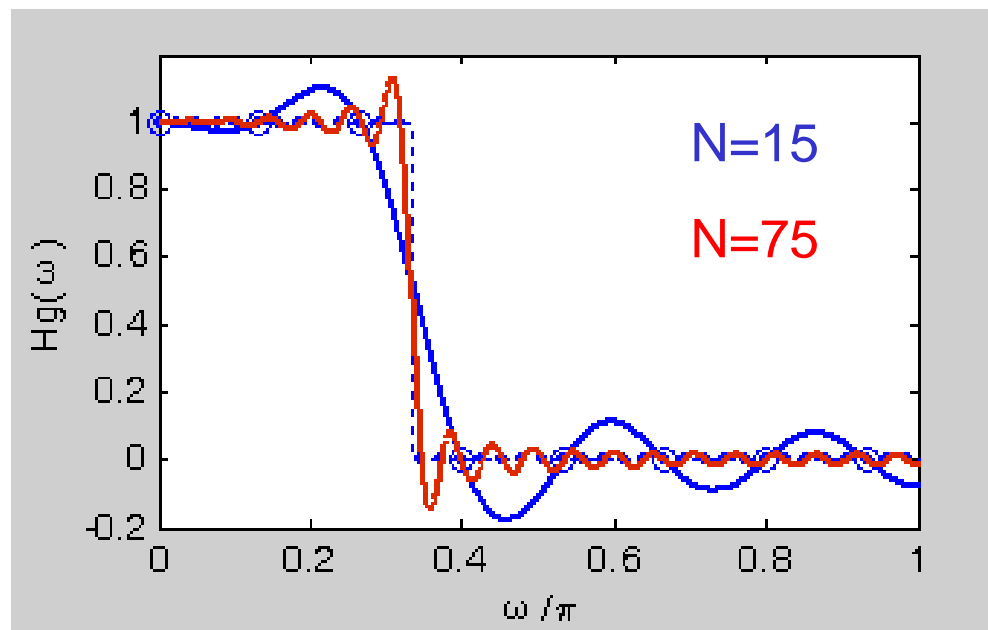
$$H(e^{j\frac{2\pi}{N}k}) = H(k) = H_d(k) = H_d(e^{j\frac{2\pi}{N}k})$$



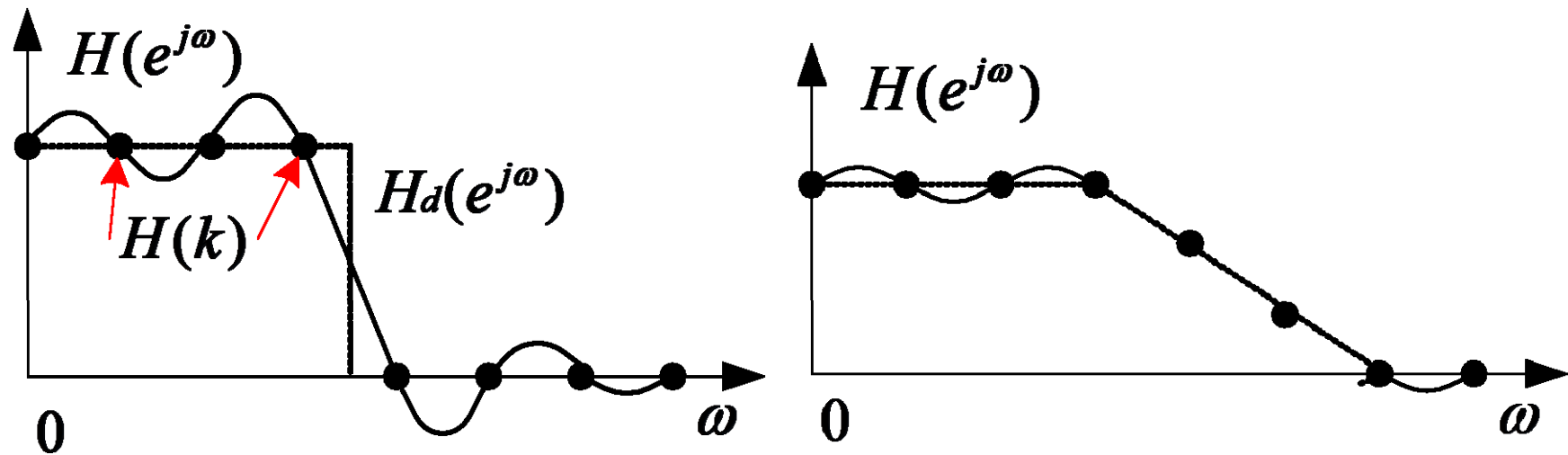
- 在采样点之间则由内插公式确定，因而有一定的逼近误差。
 - 在理想频率响应的不连续点附近误差最大，形成过渡带（ $2\pi / N$ ）， $H(e^{j\omega})$ 会产生肩峰和波纹。



- 在采样点之间则由内插公式确定，因而有一定的逼近误差。
 - 在理想频率响应的不连续点附近误差最大，形成过渡带（ $2\pi/N$ ）， $H(e^{j\omega})$ 会产生肩峰和波纹。
 - **N**增大，则采样点变密，波纹变化快，平坦区逼近误差减小，过渡带变窄，但通带最大衰减和阻带最小衰减无明显改善。



- 在采样点之间则由内插公式确定，因而有一定的逼近误差。
 - 误差大小与理想频率响应的曲线形状有关，理想特性平滑，则误差小；反之，误差大。





- 改进措施:

(1) 增加N, 减少逼近误差, 但间断点附近的误差仍很大;

(2) 在频响间断点附近区间增加一个或多个过渡采样点 (也称为加频窗), 使不连续点变成缓慢过渡。代价是加大了过渡带, 但增大了阻带衰减。

$$2\pi / N \Rightarrow (m+1)2\pi / N$$

- 根据过渡带的宽度要求，选择合适的滤波器长度**N**。采用如下估算公式，其中**m**为增加的过渡带采样点个数：

$$(m + 1)2\pi / N \leq \Delta B$$

$$\Rightarrow N \geq (m + 1)2\pi / \Delta B$$

- 过渡带采样点数**m**和阻带最小衰减 α_s 的经验数据

m	1	2	3
α_s	44-54dB	65-75dB	85-95dB



频率采样法设计步骤

1. 根据阻带最小衰减，选择过渡带采样点的个数 **m**
2. 确定过渡带宽度，估算滤波器长度 **N**
3. 构造希望逼近的频率响应函数
4. 频域采样 **$H(k)$**
5. 求 **$h(n)$**
6. 检验设计结果，微调边界频率

<小结>

频率采样设计法的**优点**:

① 直接从频域进行设计，物理概念清楚，直观方便；可以设计**任意形状频率响应特性的FIRDF**；

② 适合于窄带滤波器设计，这时频率响应只有少数几个非零值。

典型应用：用一串窄带滤波器组成多卜勒雷达接收机，覆盖不同的频段，多卜勒频偏可反映被测目标的运动速度；

缺点：截止频率难以控制。

因频率取样点都局限在 $2\pi/N$ 的整数倍点上，所以在指定通带和阻带截止频率时，这种方法受到限制，比较死板。充分加大 N ，可以接近任何给定的频率，但计算量和复杂性增加。

7.5 IIR与FIR数字滤波器的比较

	FIR	IIR
设计方法	一般无解析的设计公式，要借助计算机程序完成	利用AF的成果，可简单、有效地完成设计
设计结果	可得到幅频特性和线性相位（最大优点）	只能得到幅频特性，相频特性未知（一大缺点），如需要线性相位，须用全通网络校准，但增加滤波器阶数和复杂性
稳定性	极点全部在原点（永远稳定） 无稳定性问题	有稳定性问题
阶数	高	低
结构	非递归系统	递归系统
运算误差	一般无反馈，运算误差小	有反馈，由于运算中的四舍五入会产生极限环
快速算法	可用FFT实现，减少运算量	无快速运算方法



作业

- **P213-214**

1, 2 (不用画网络结构), 5, 9, 11, 15

- **编程:**

P214-215: 18